

Program EVALPLOT
(Version 2018-1)

by

Dermott E. Cullen
(Present Contact Information)

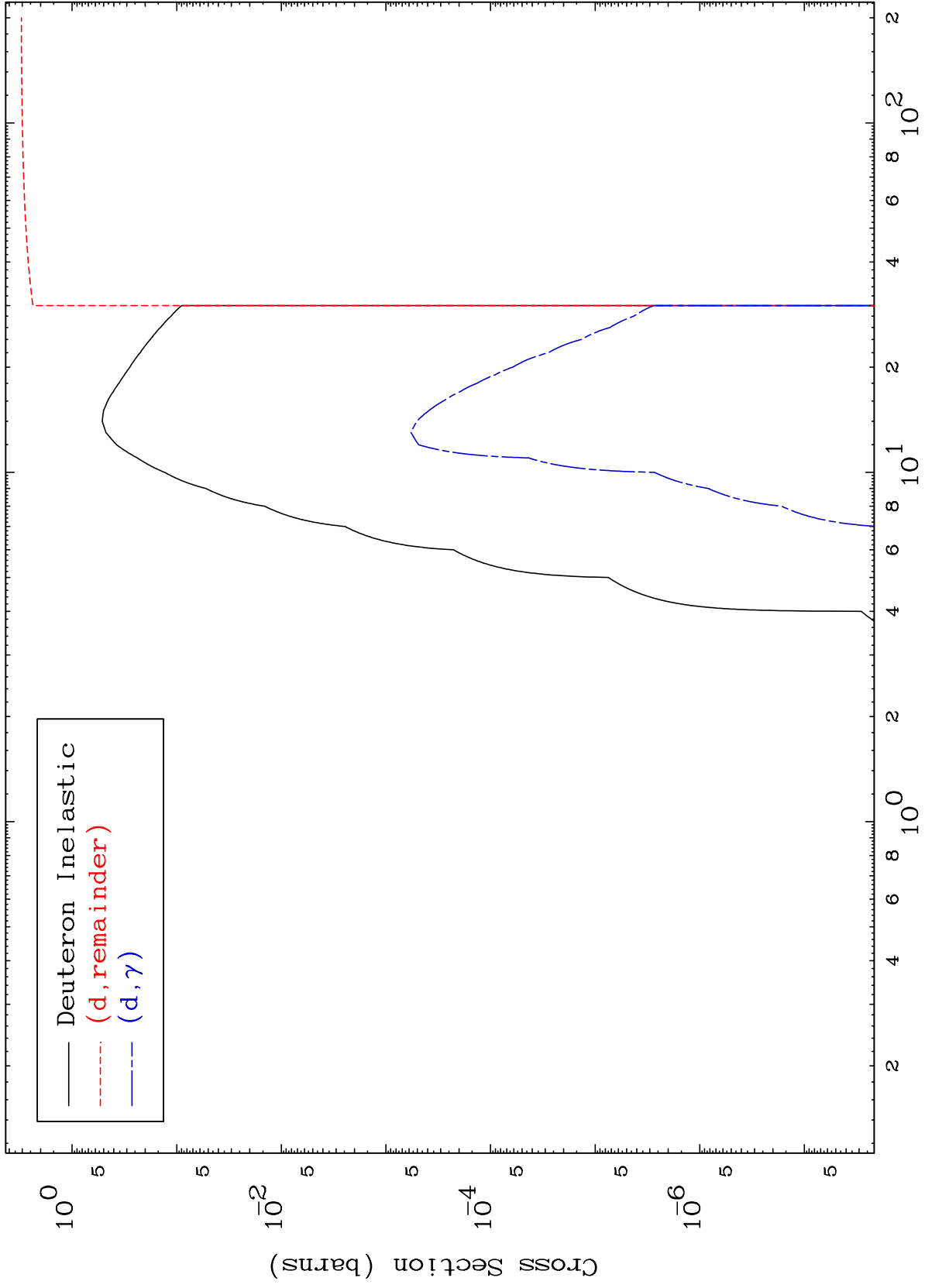
Dermott E. Cullen
1466 Hudson Way
Livermore, CA 94550
U.S.A.

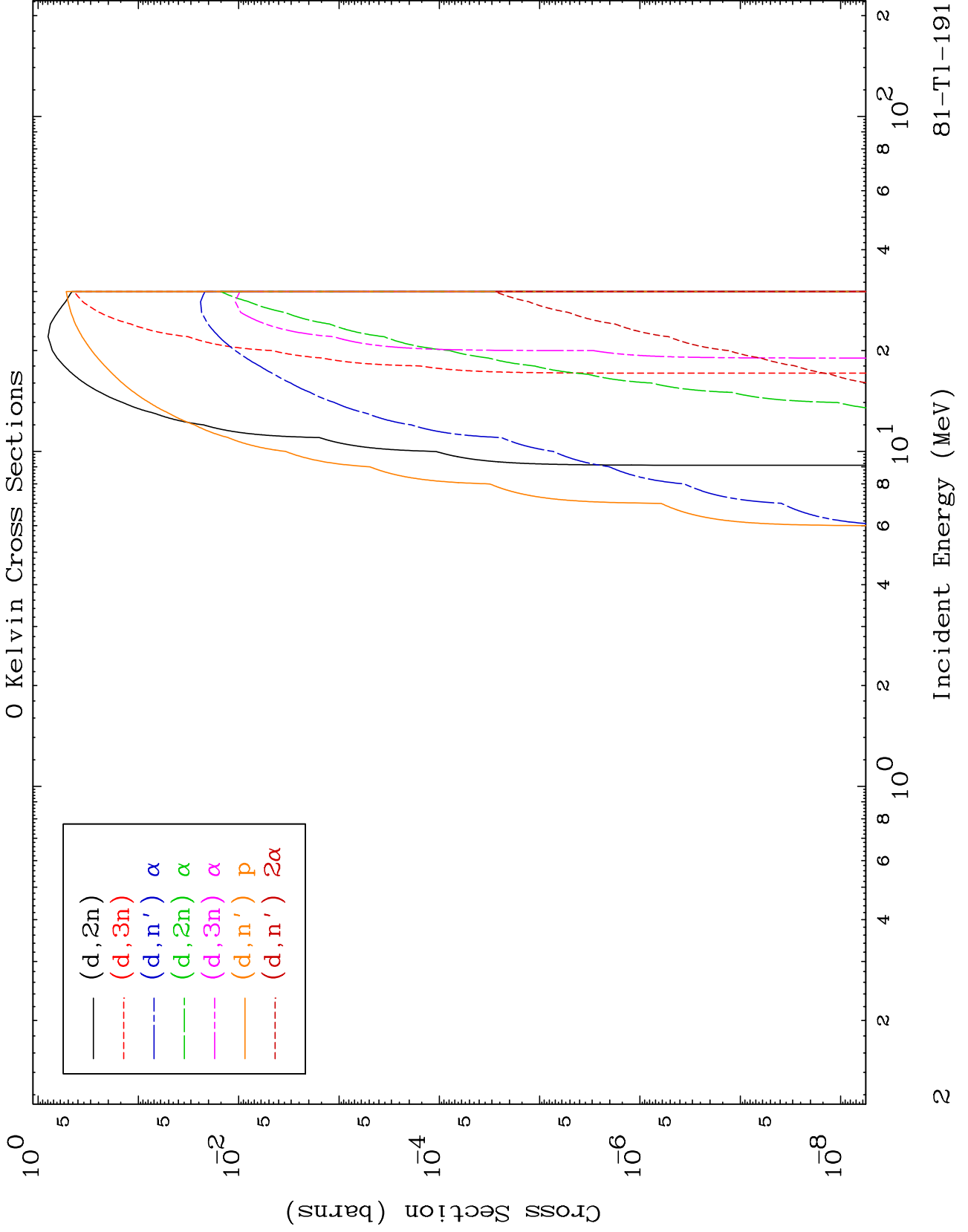
Tele: 925-443-1911

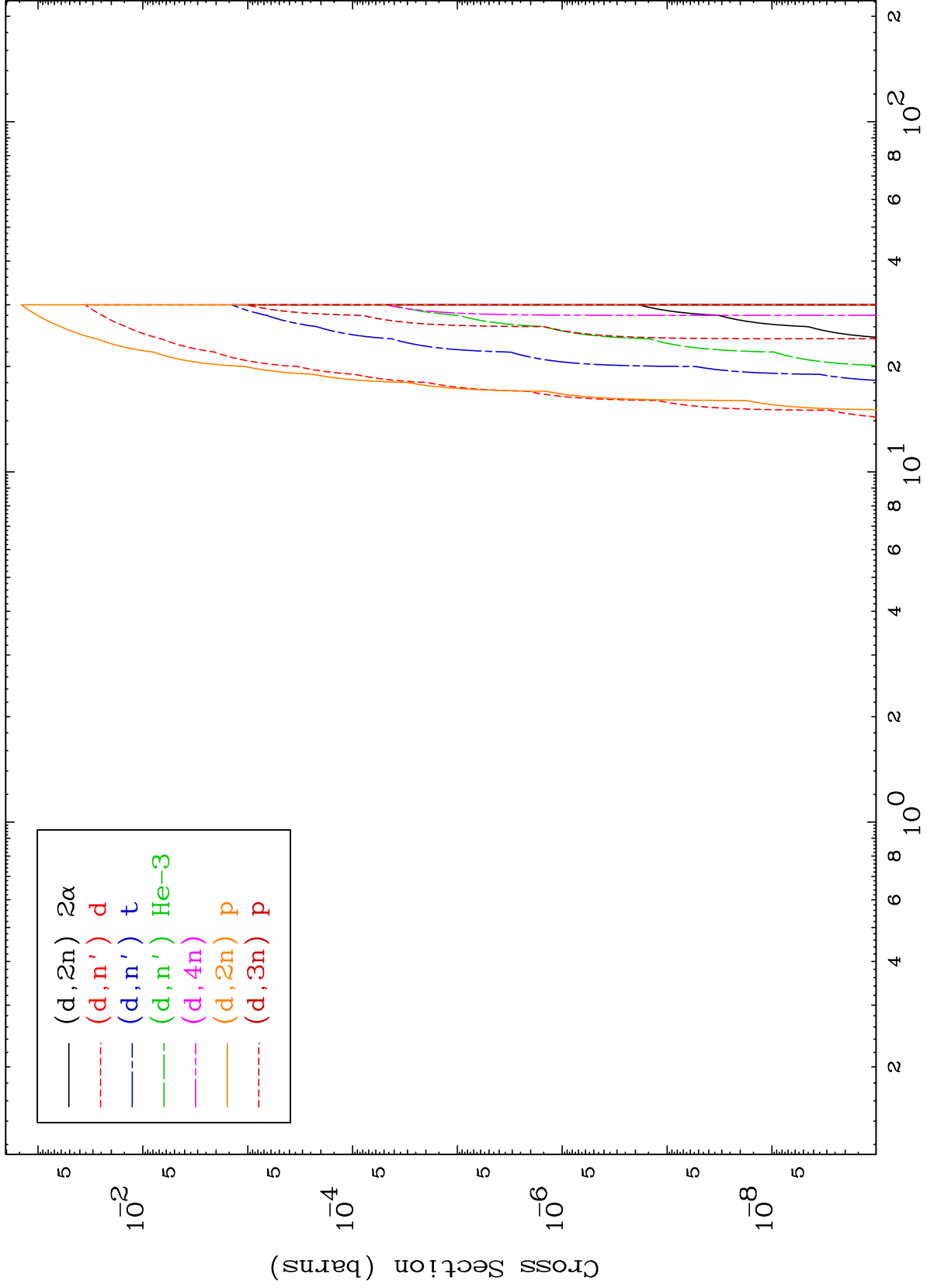
E.Mail:redcullen1@comcast.net

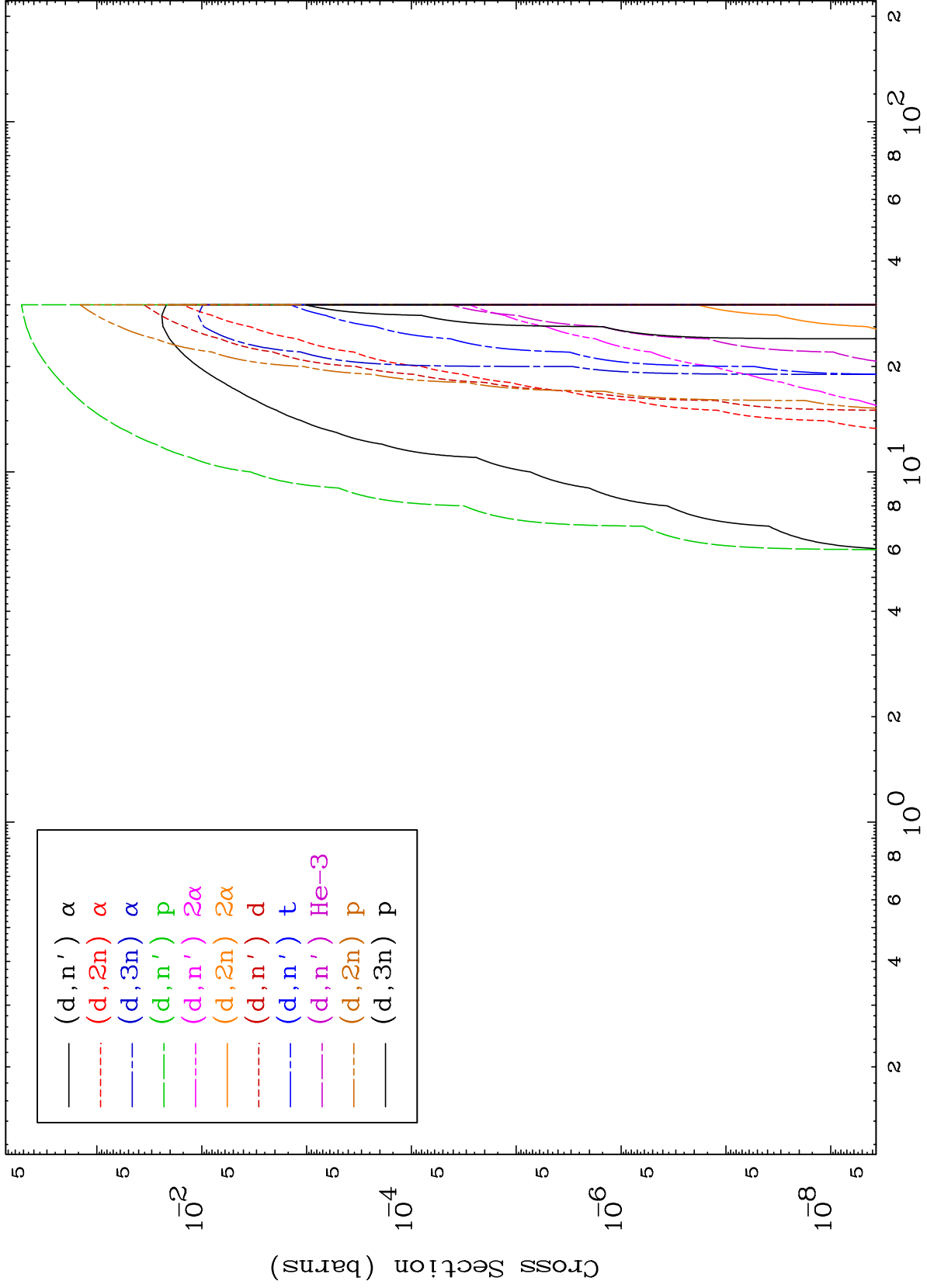
Web:redcullen1.net/HOMEPAGE.NEW

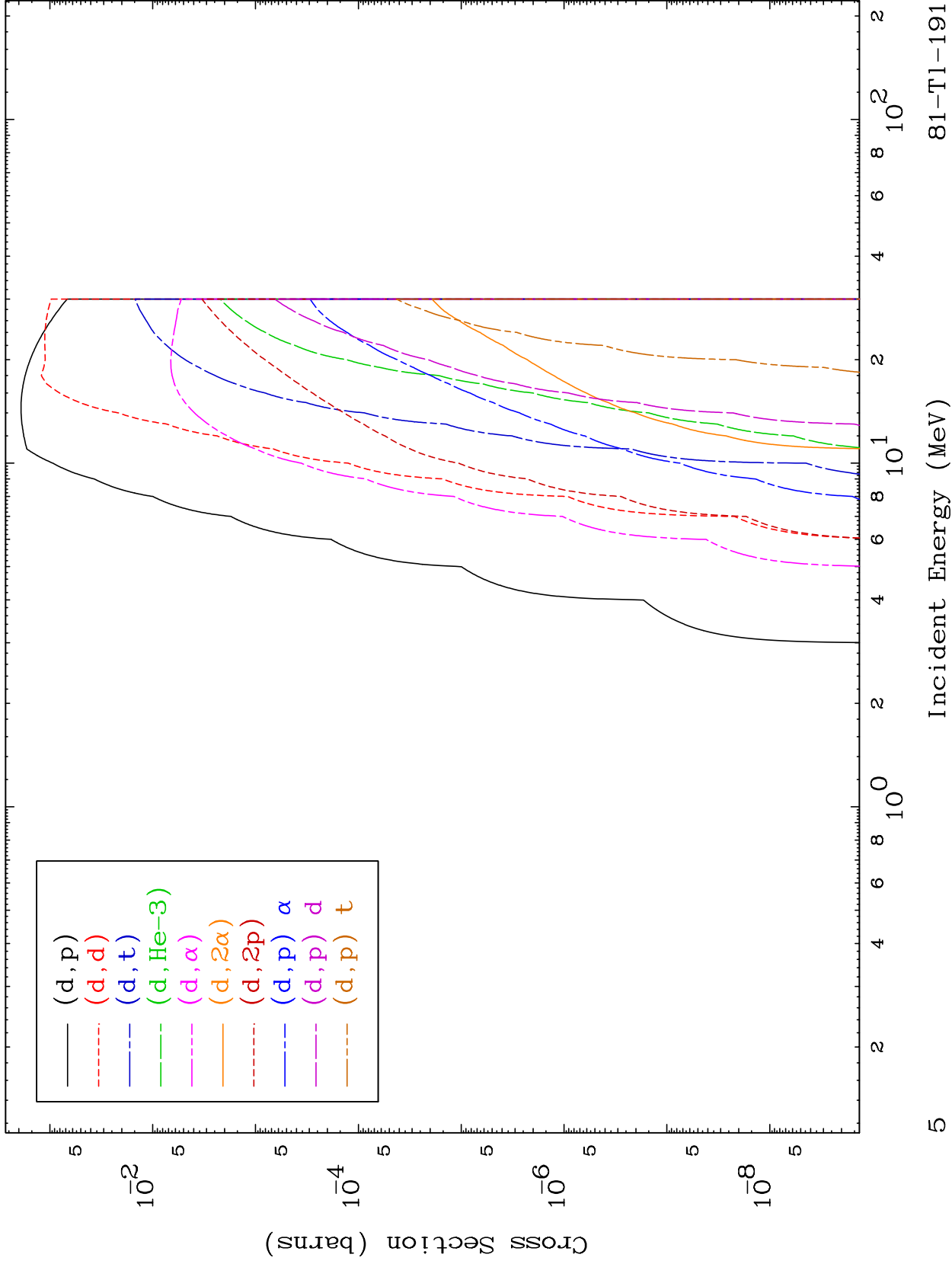
Press Mouse Button to Start









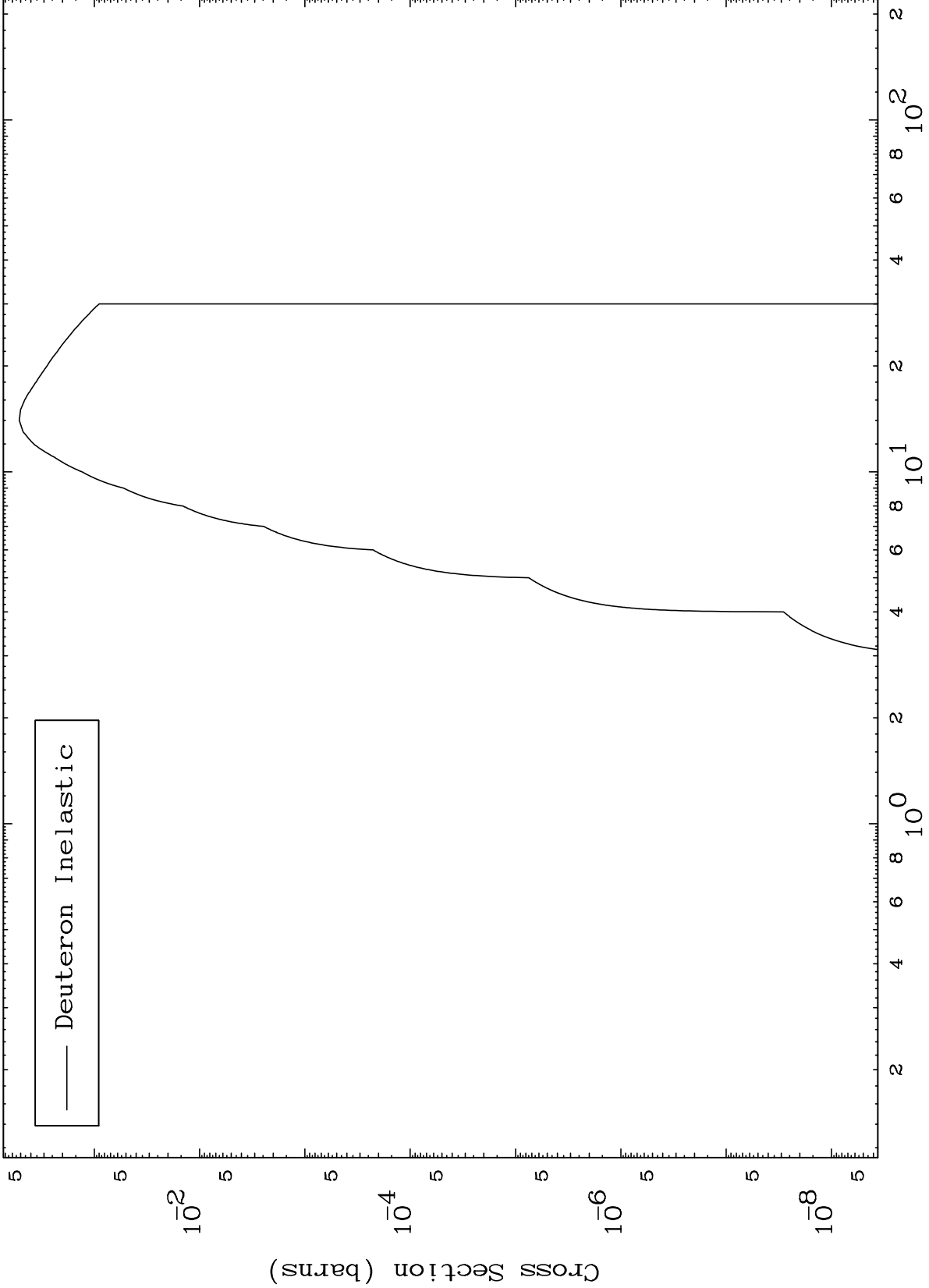


MAT 8089

(d,n') Level

81-Tl-191

0 Kelvin Cross Sections



6

Incident Energy (MeV)

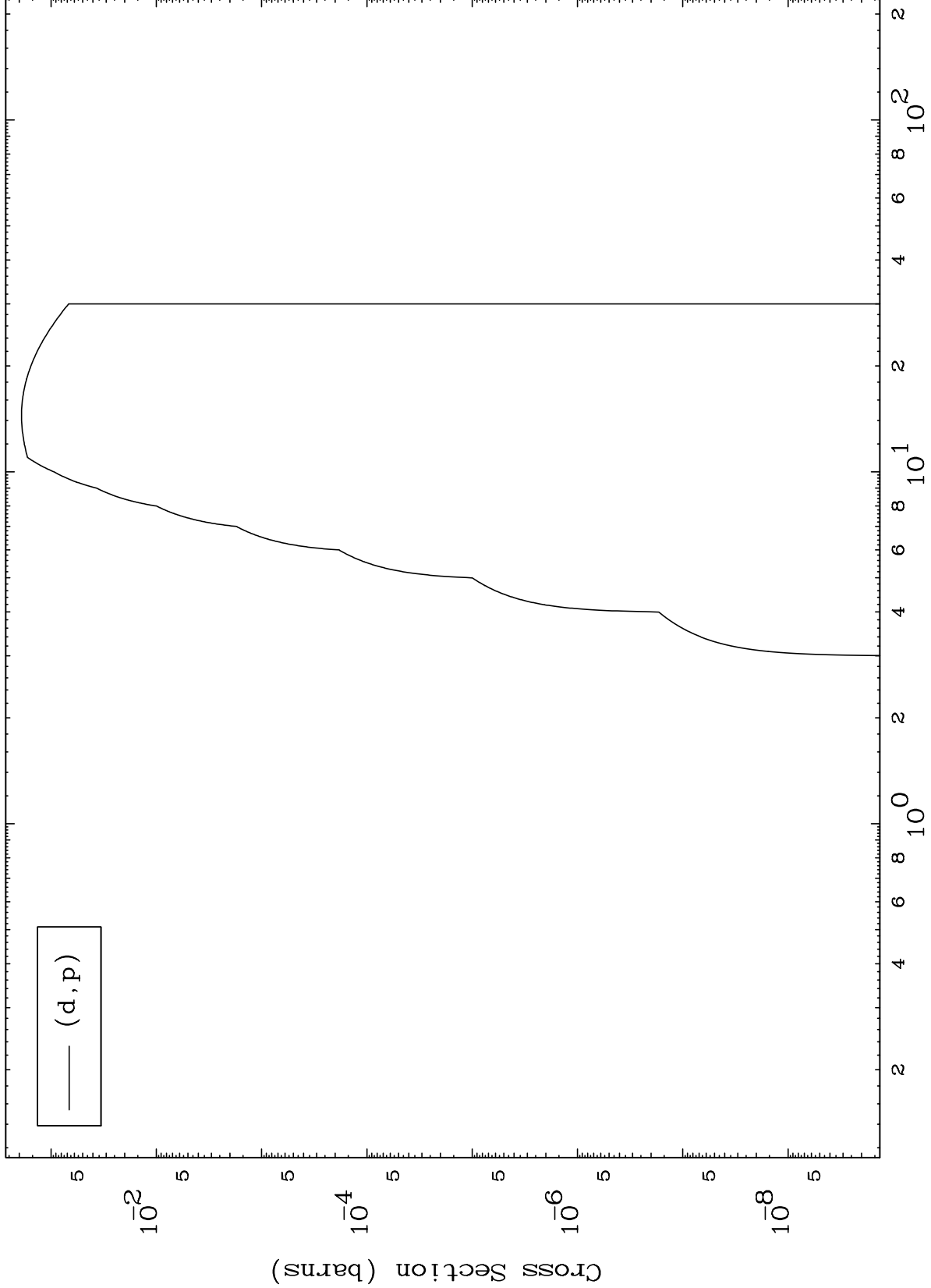
81-Tl-191

MAT 8089

(d,p) Levels

81-Tl-191

0 Kelvin Cross Sections

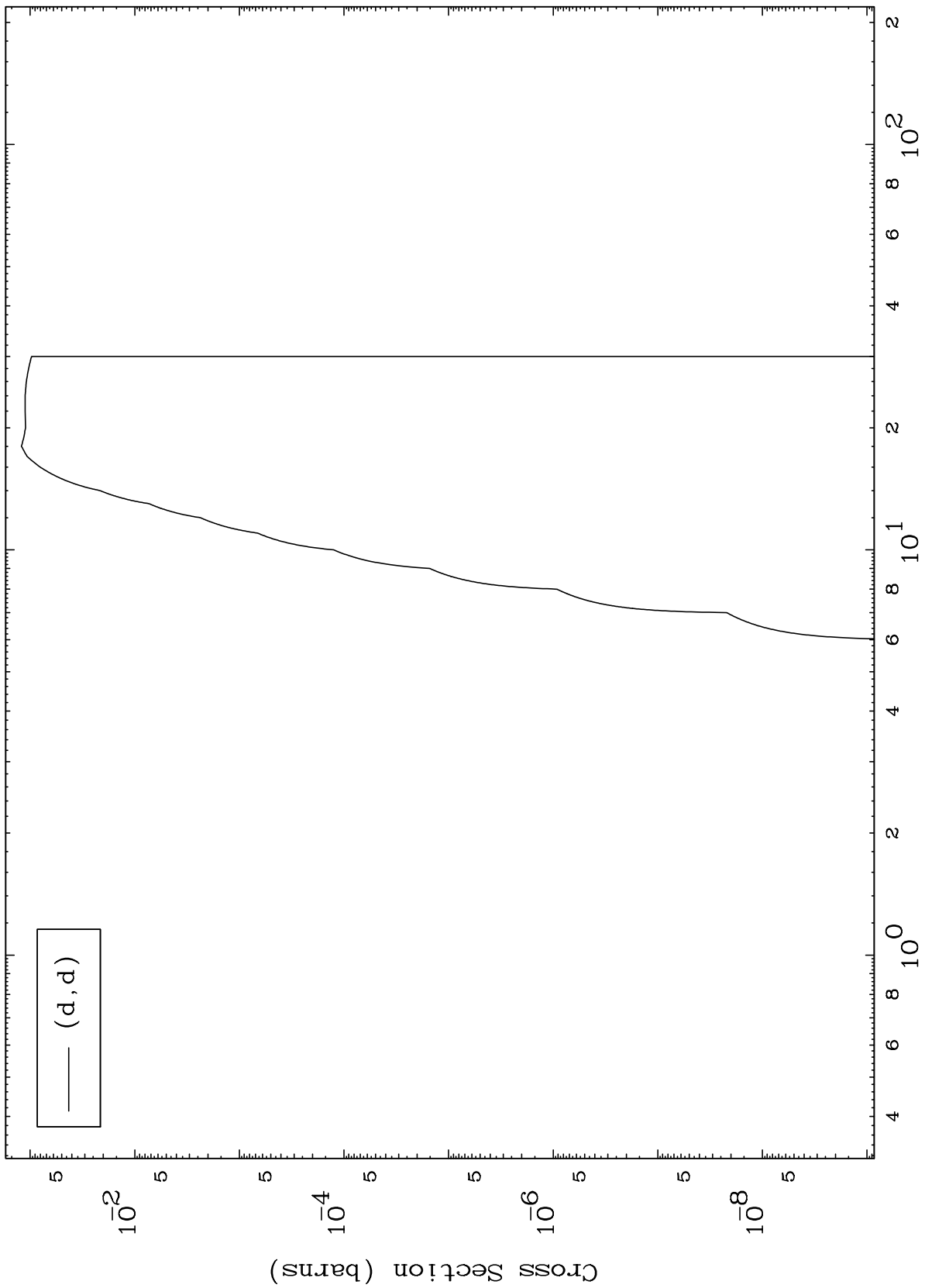


MAT 8089

(d,d) Levels

81-Tl-191

0 Kelvin Cross Sections



8

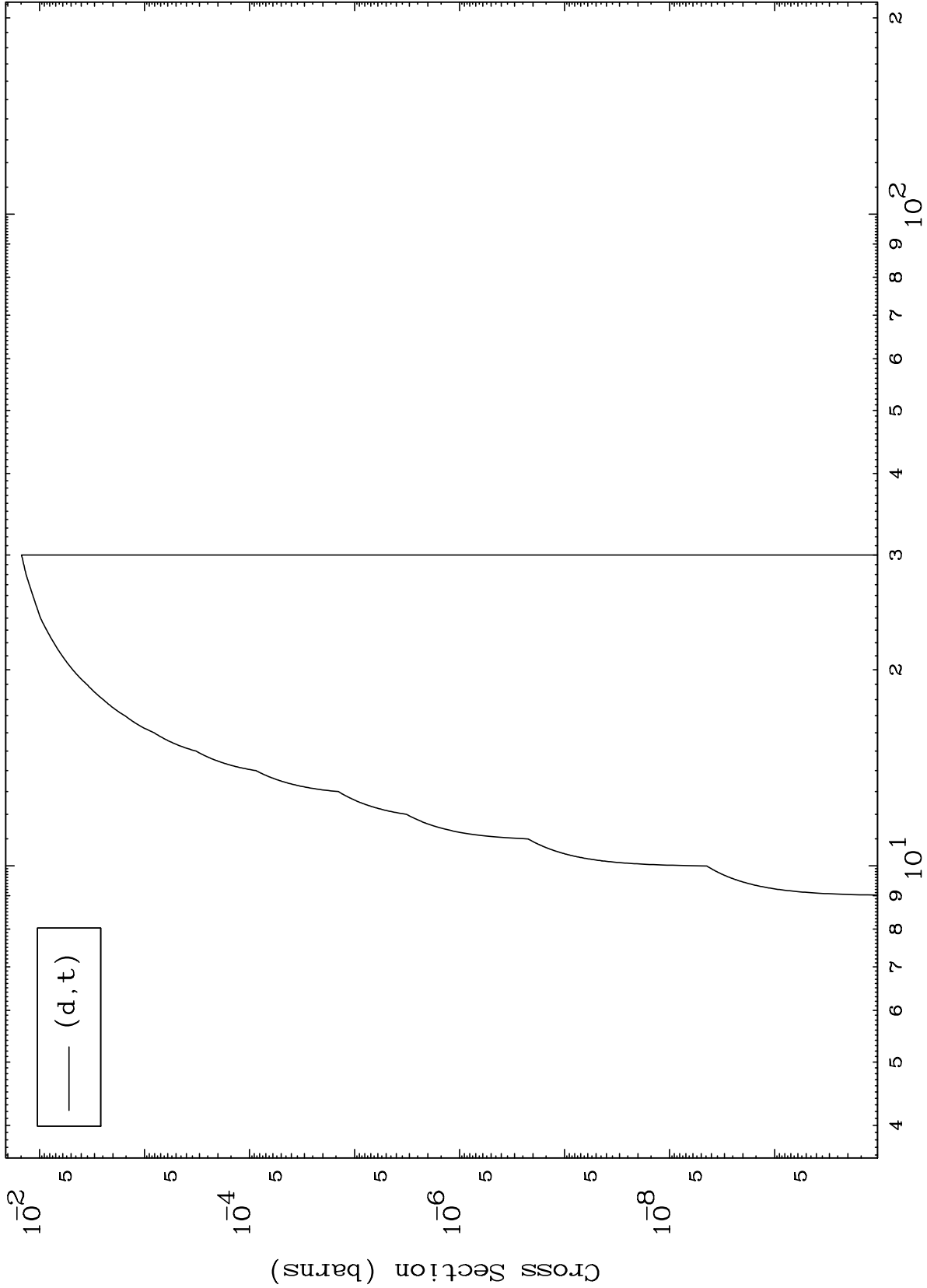
Incident Energy (MeV)

81-Tl-191

MAT 8089

81-Tl-191

(d,t) Levels
0 Kelvin Cross Sections



9

Incident Energy (MeV)

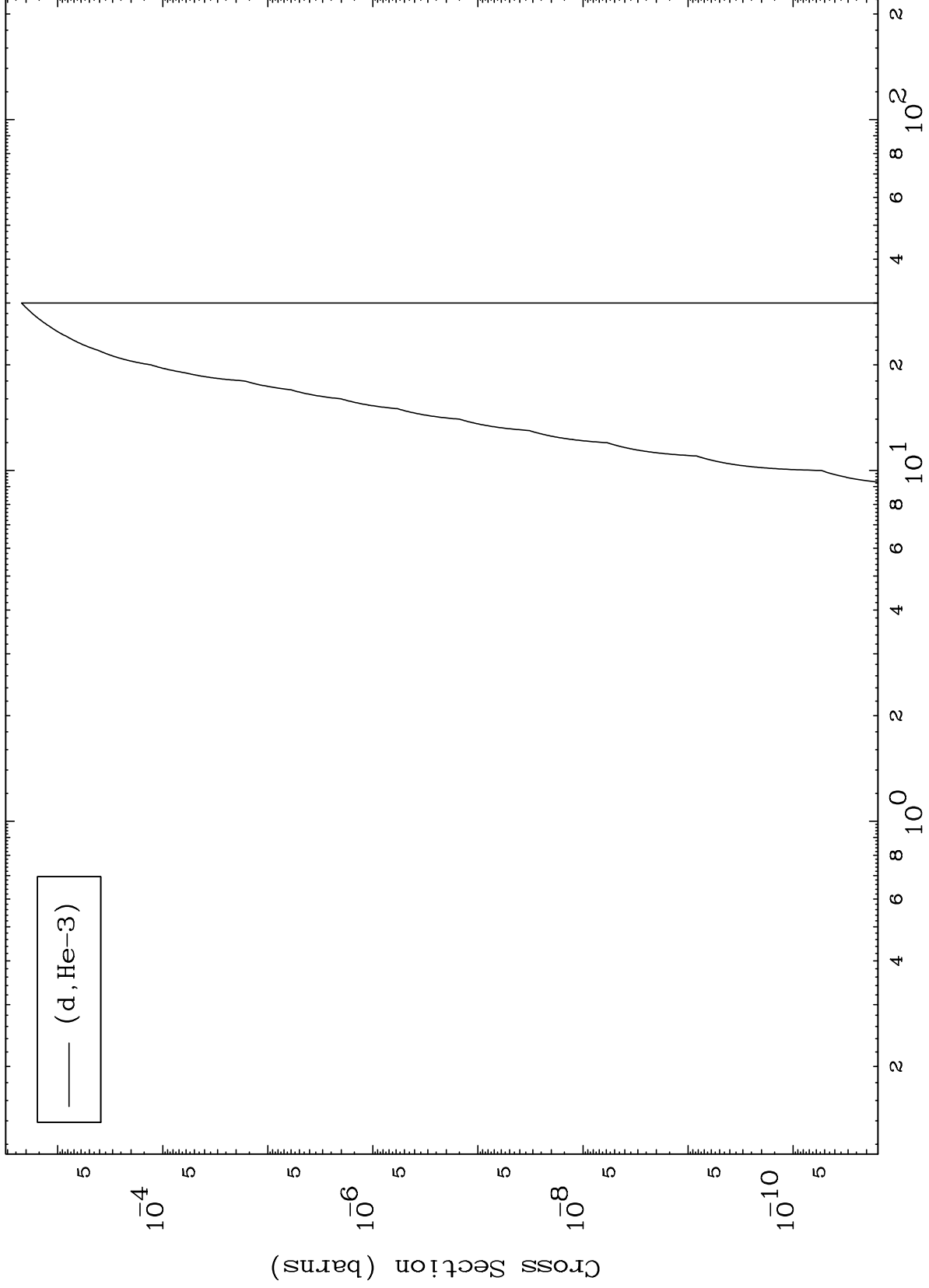
81-Tl-191

MAT 8089

(d,He3) Levels

81-Tl-191

0 Kelvin Cross Sections



10

Incident Energy (MeV)

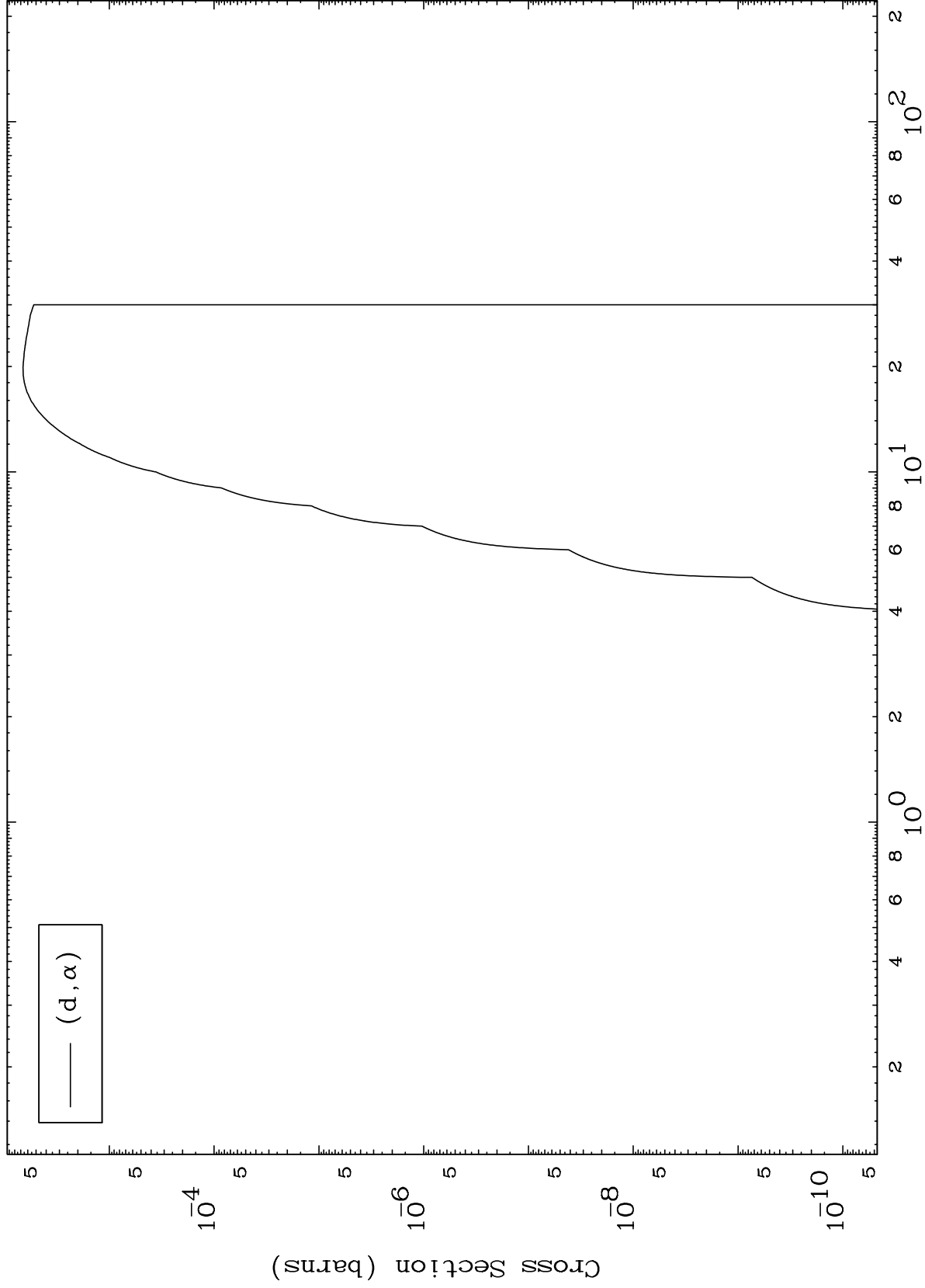
81-Tl-191

MAT 8089

(d, α) Levels

81-Tl-191

0 Kelvin Cross Sections

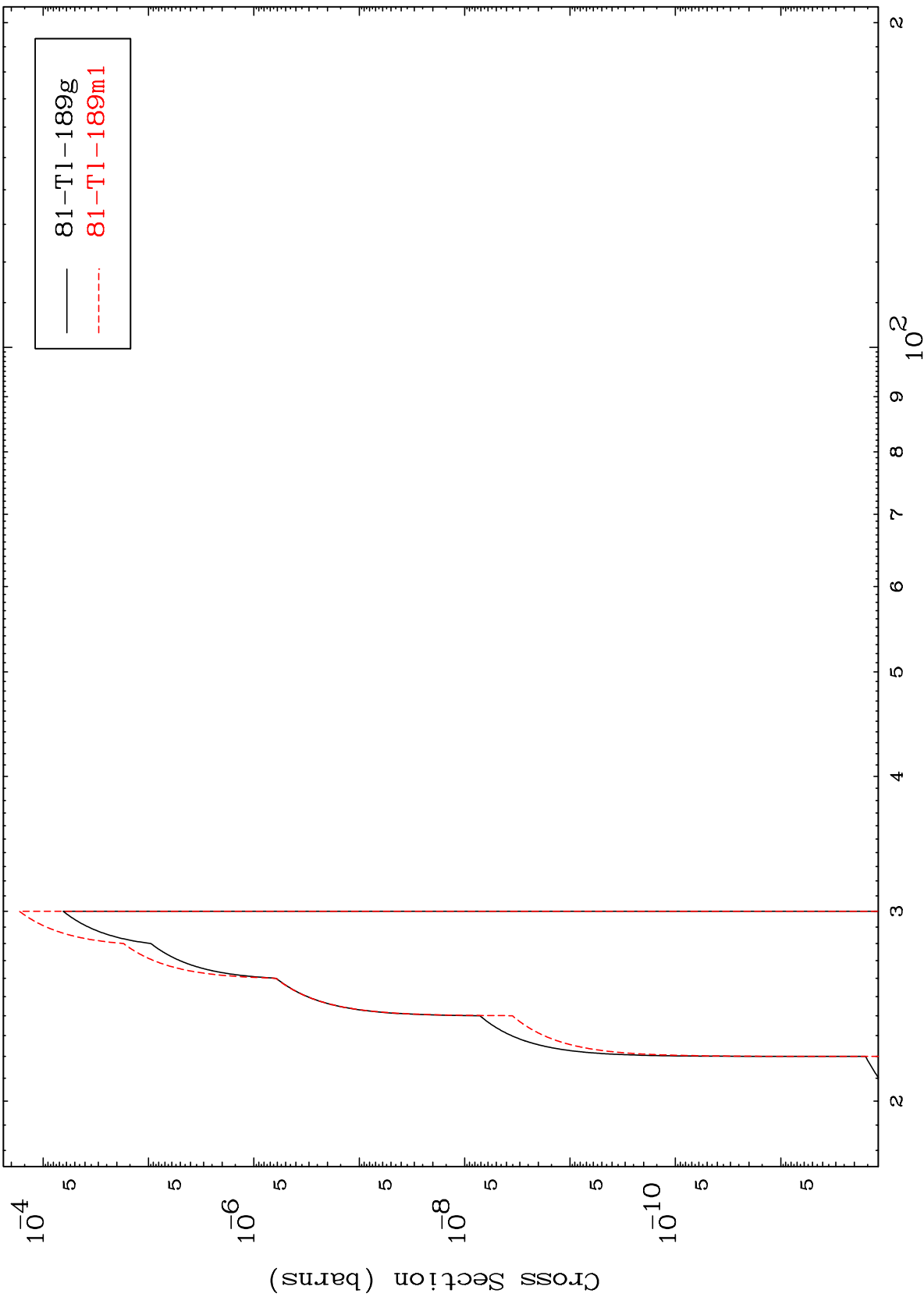


11

Incident Energy (MeV)

81-Tl-191

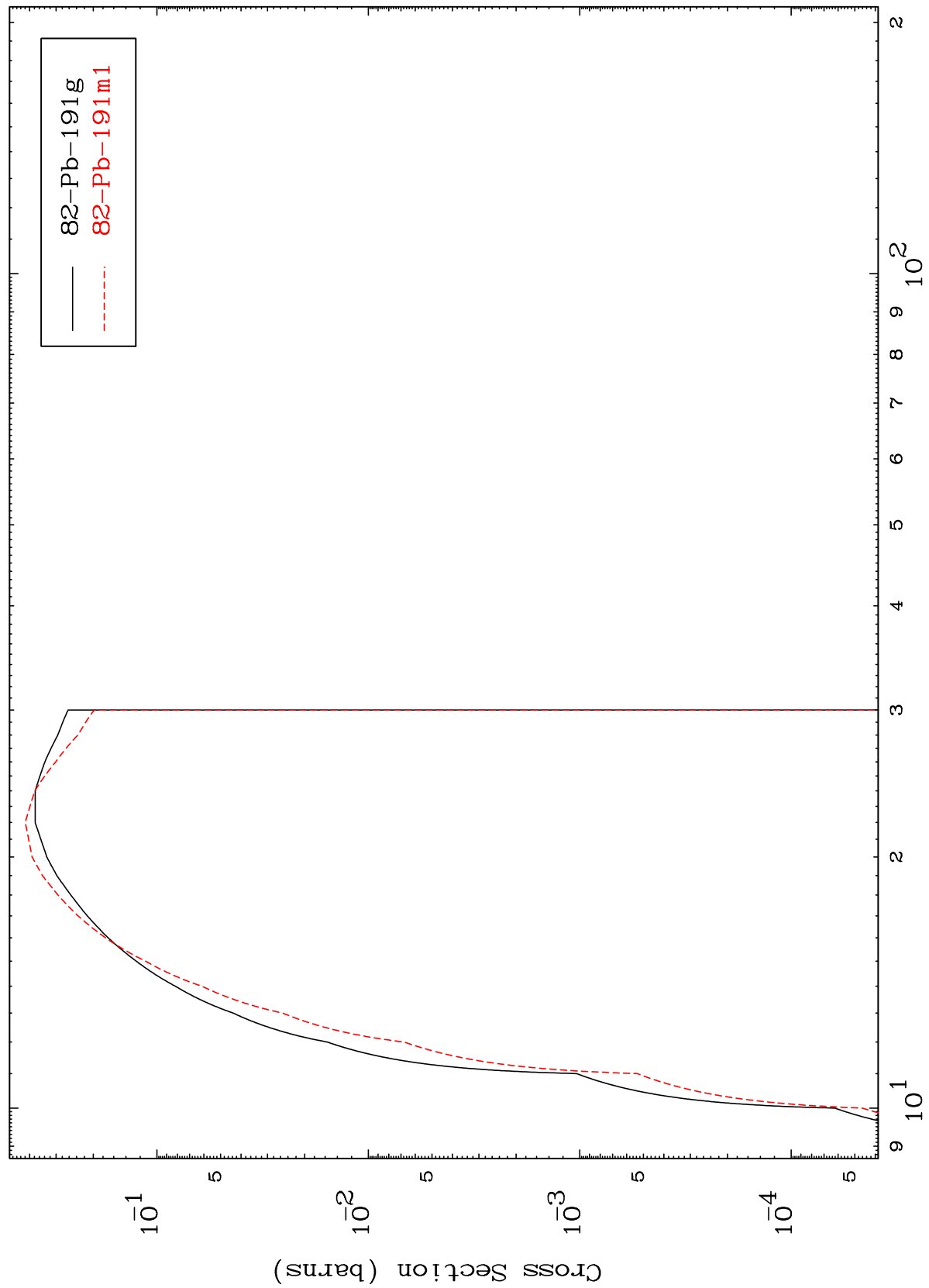
Radionuclide Production Cross Section



MAT 8089

81-Tl-191

(d,2n)
Radionuclide Production Cross Section



81-Tl-191

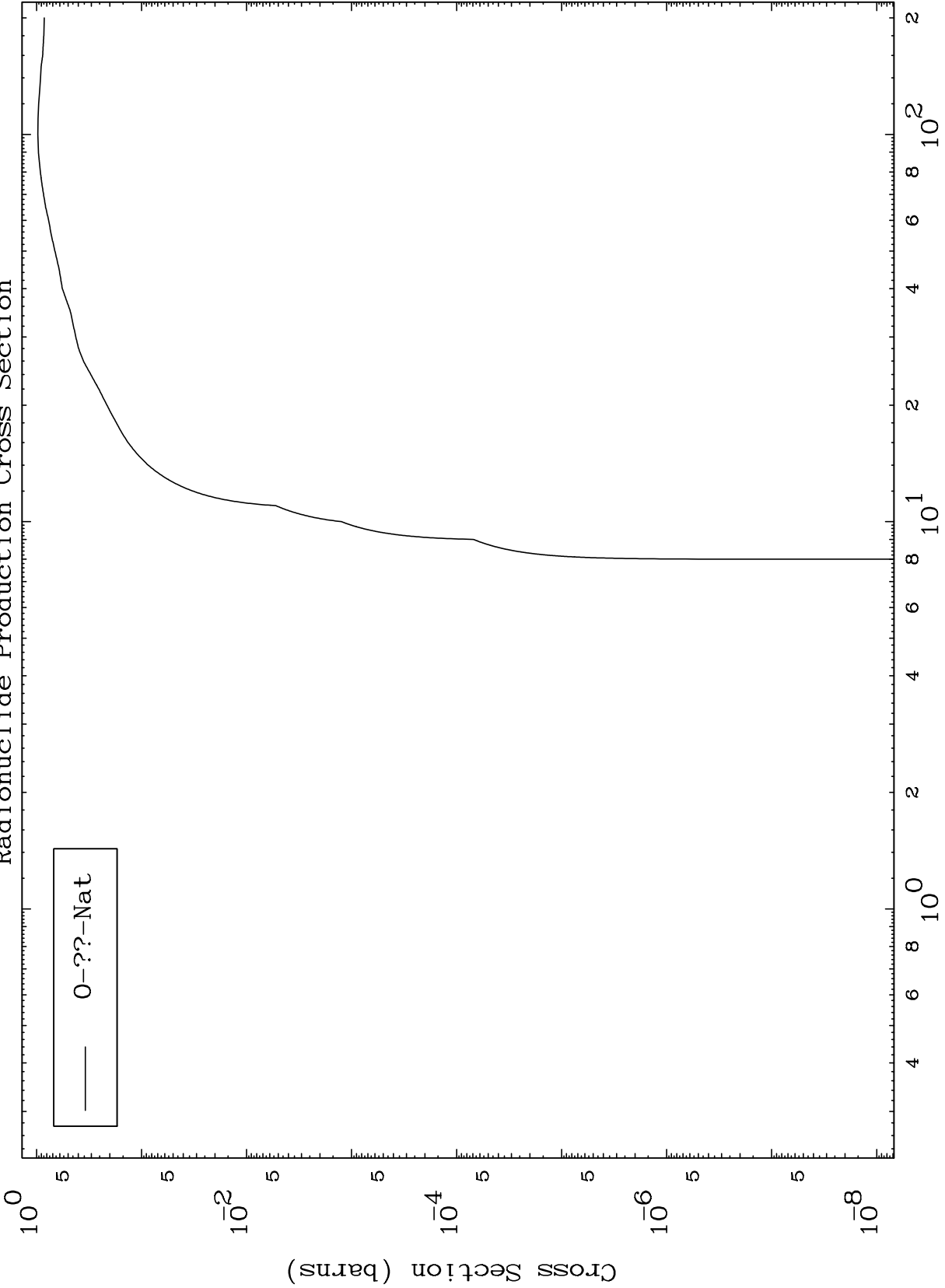
Incident Energy (MeV)

13

MAT 8089

81-Tl-191

Deuteron Fission
Radionuclide Production Cross Section



14

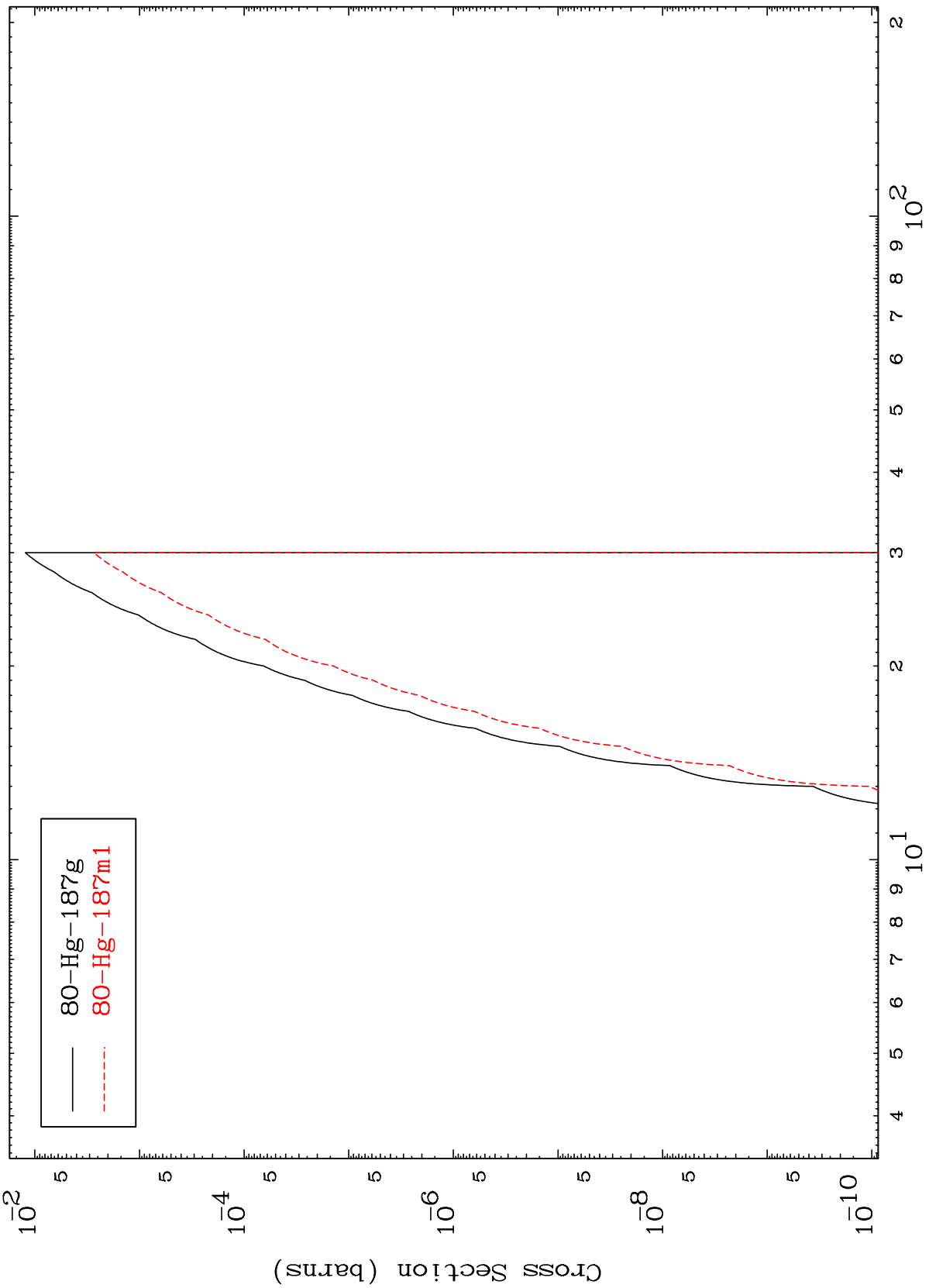
81-Tl-191

MAT 8089

(d,2n) α

81-Tl-191

Radionuclide Production Cross Section



80-Hg-187g
80-Hg-187m1

15

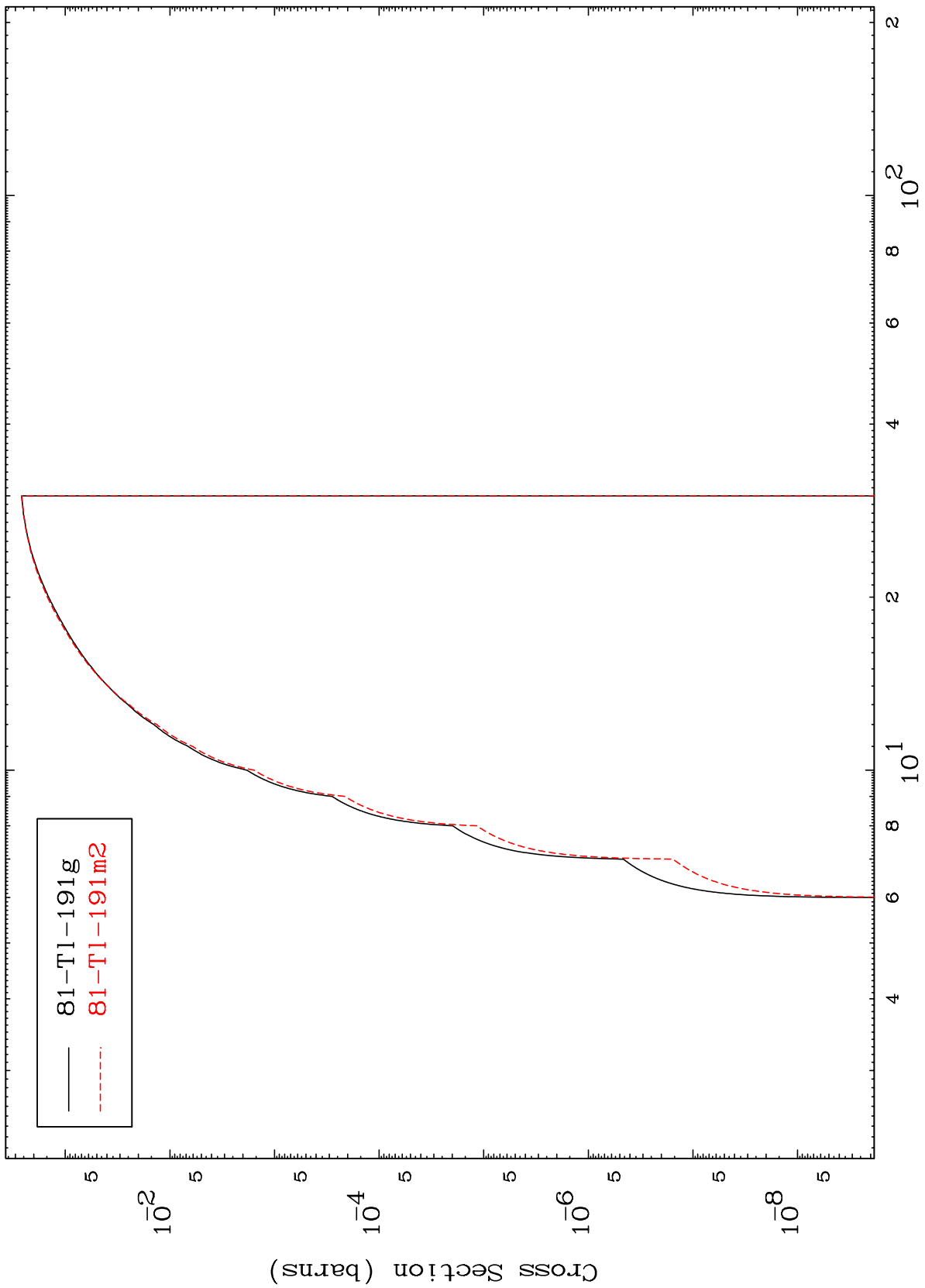
Incident Energy (MeV)

81-Tl-191

MAT 8089

81-Tl-191

Radionuclide Production Cross Section



16

81-Tl-191

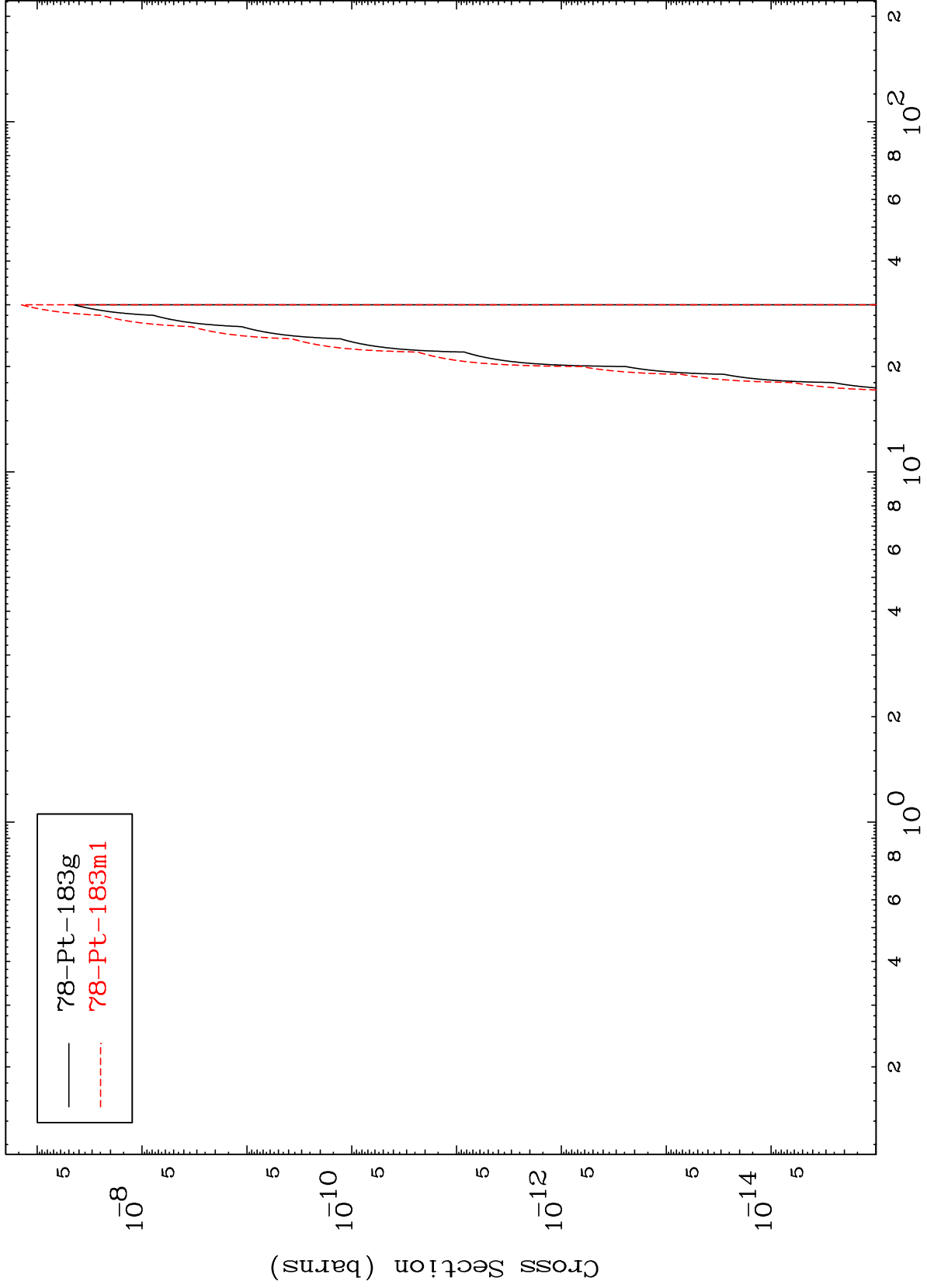
Incident Energy (MeV)

MAT 8089

(d,2n) 2α

81-Tl-191

Radionuclide Production Cross Section

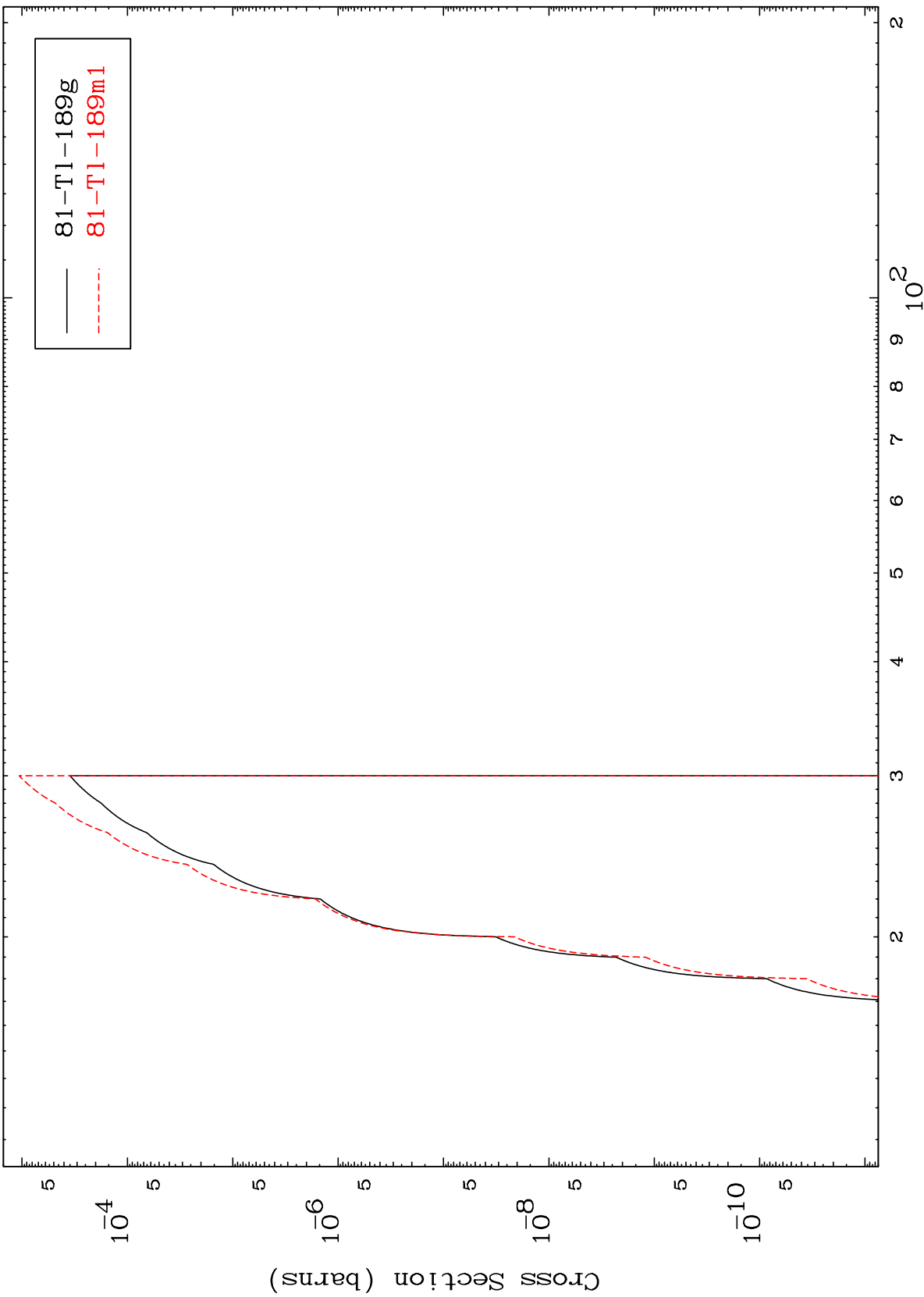


MAT 8089

(d,n') t

81-Tl-191

Radionuclide Production Cross Section



18

Incident Energy (MeV)

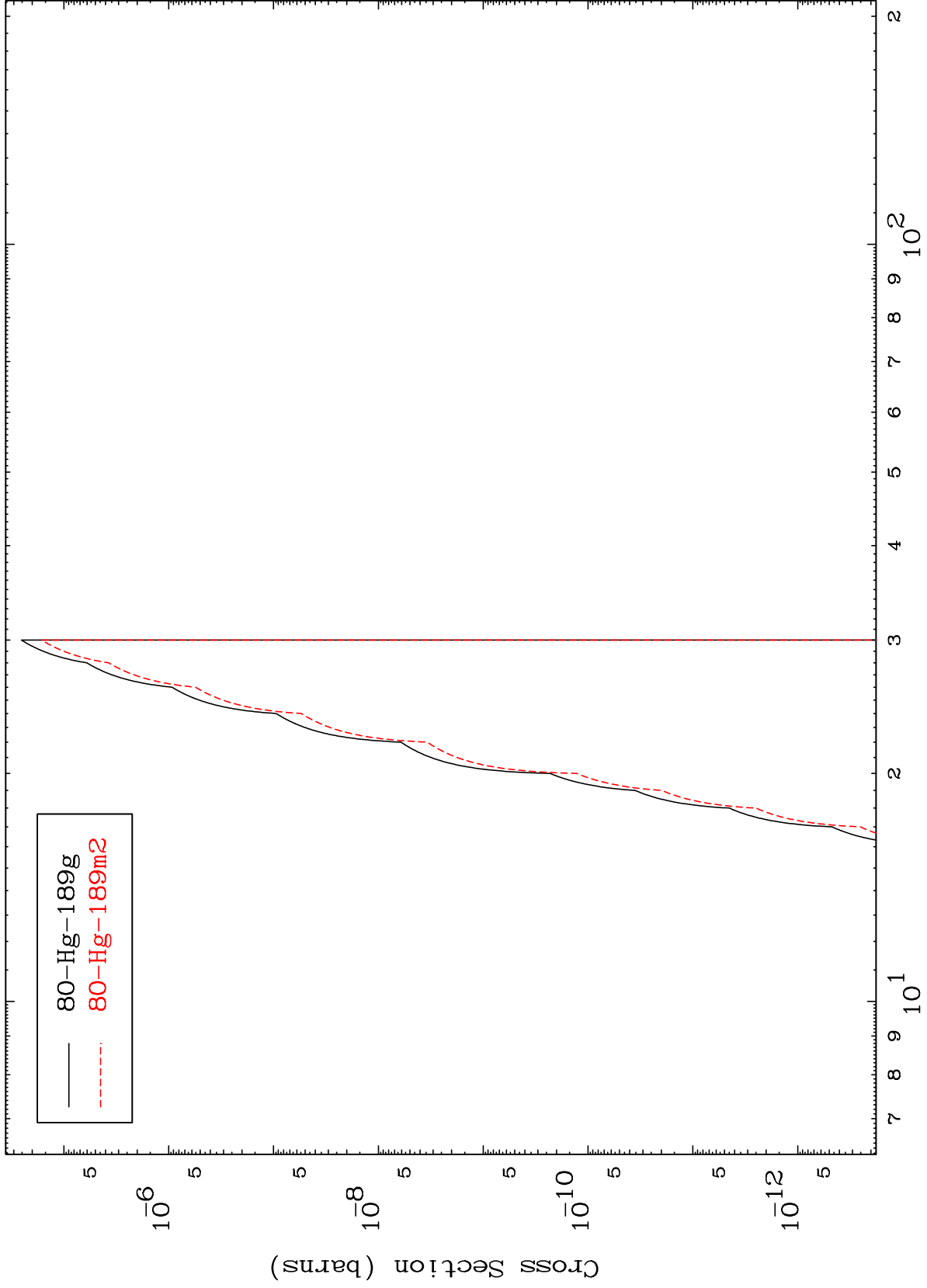
81-Tl-191

MAT 8089

(d,n') He-3

81-Tl-191

Radionuclide Production Cross Section



19

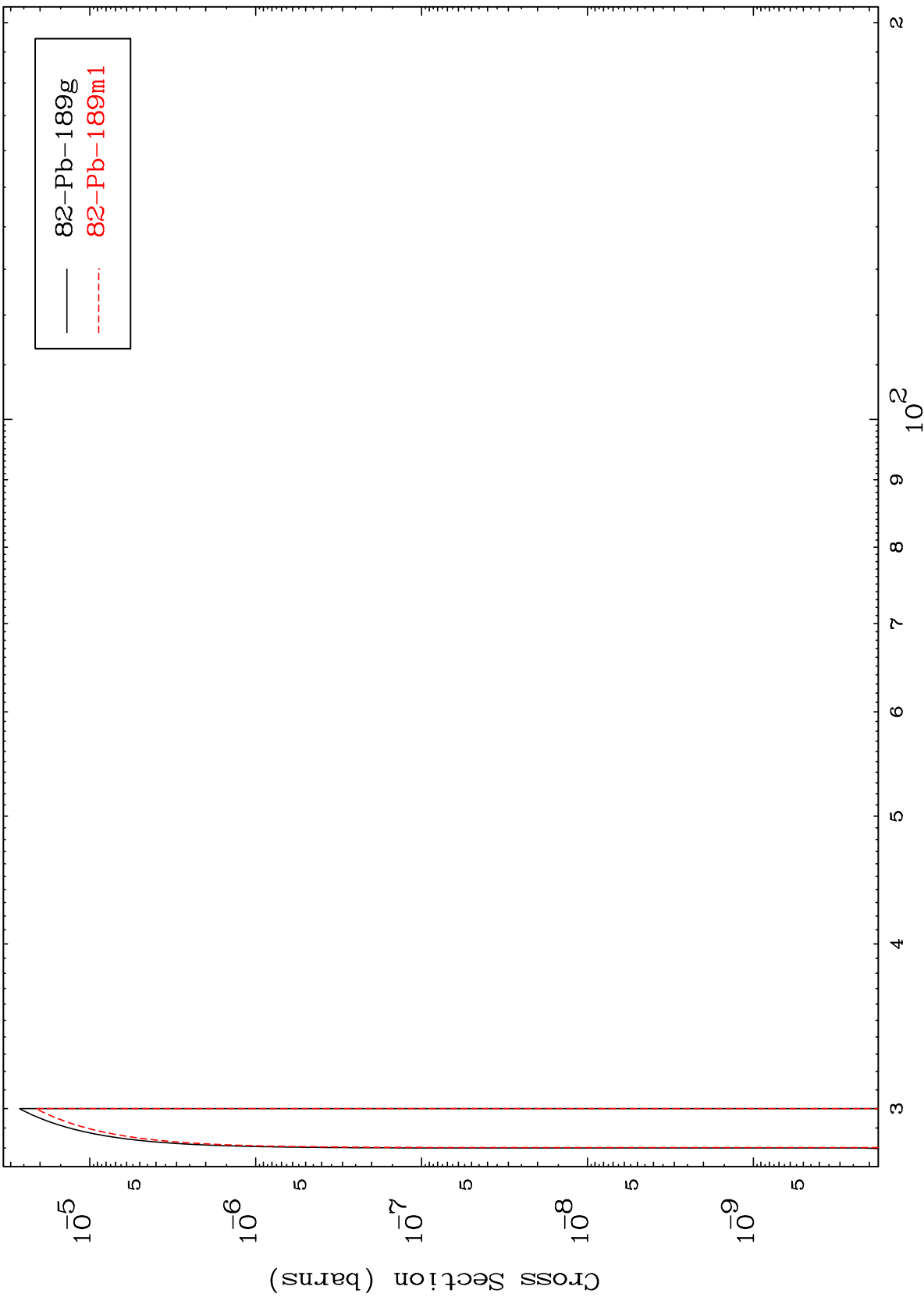
Incident Energy (MeV)

81-Tl-191

MAT 8089

81-Tl-191

(d,4n)
Radionuclide Production Cross Section



82-Pb-189g
82-Pb-189m1

20

Incident Energy (MeV)

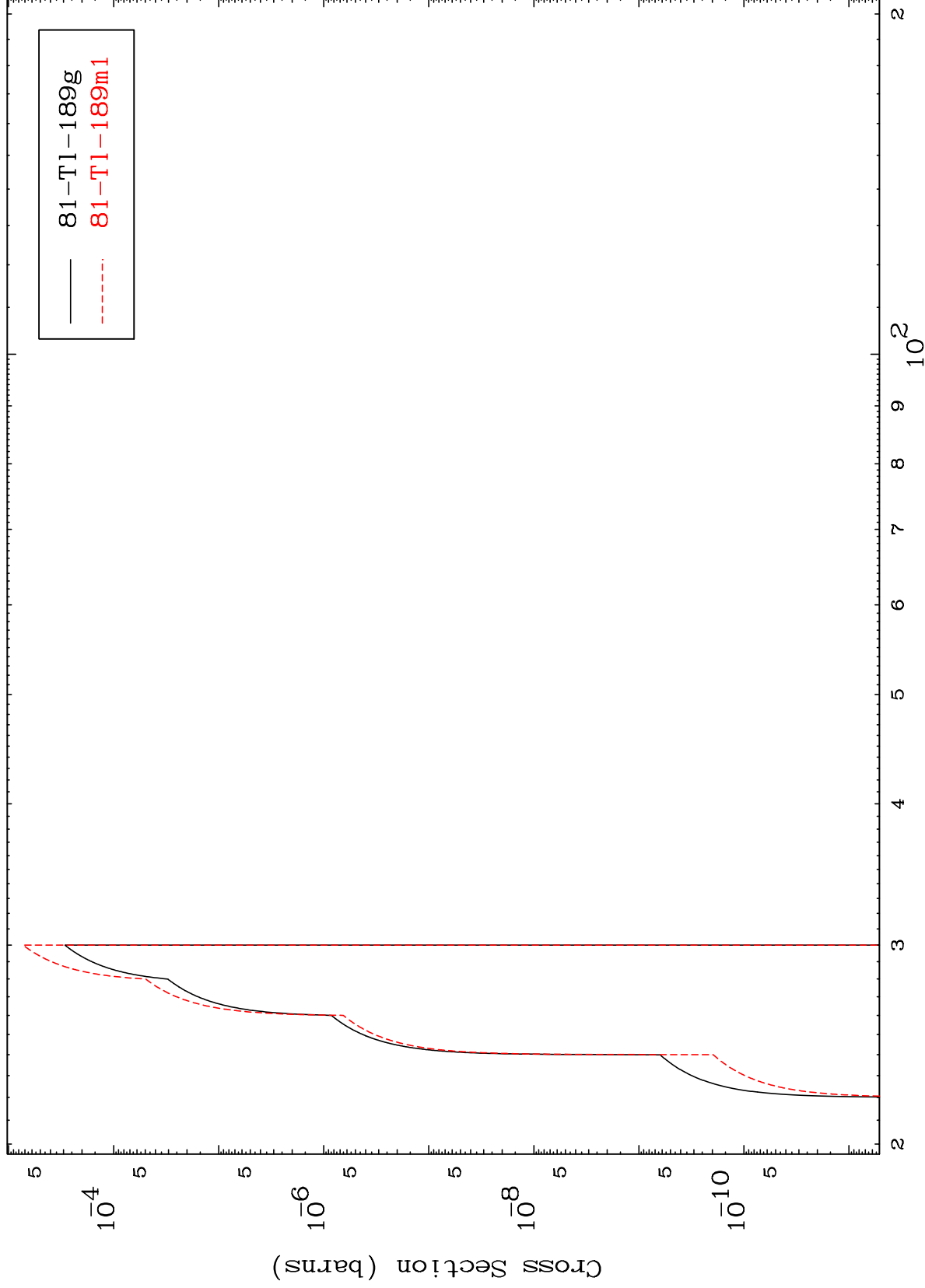
81-Tl-191

MAT 8089

81-Tl-191

(d,3n) p

Radionuclide Production Cross Section



21

Incident Energy (MeV)

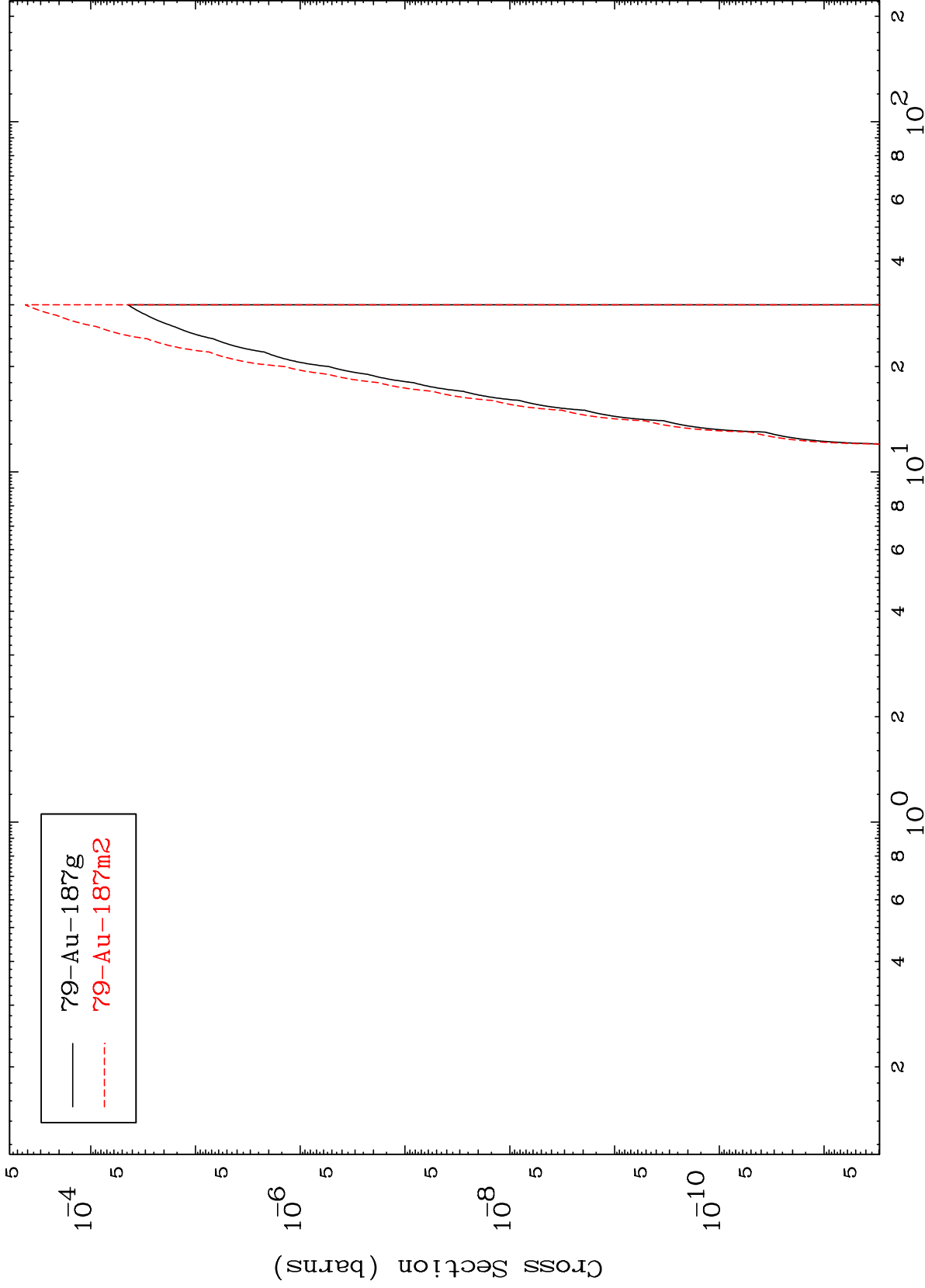
81-Tl-191

MAT 8089

(d,n') p α

81-Tl-191

Radionuclide Production Cross Section



22

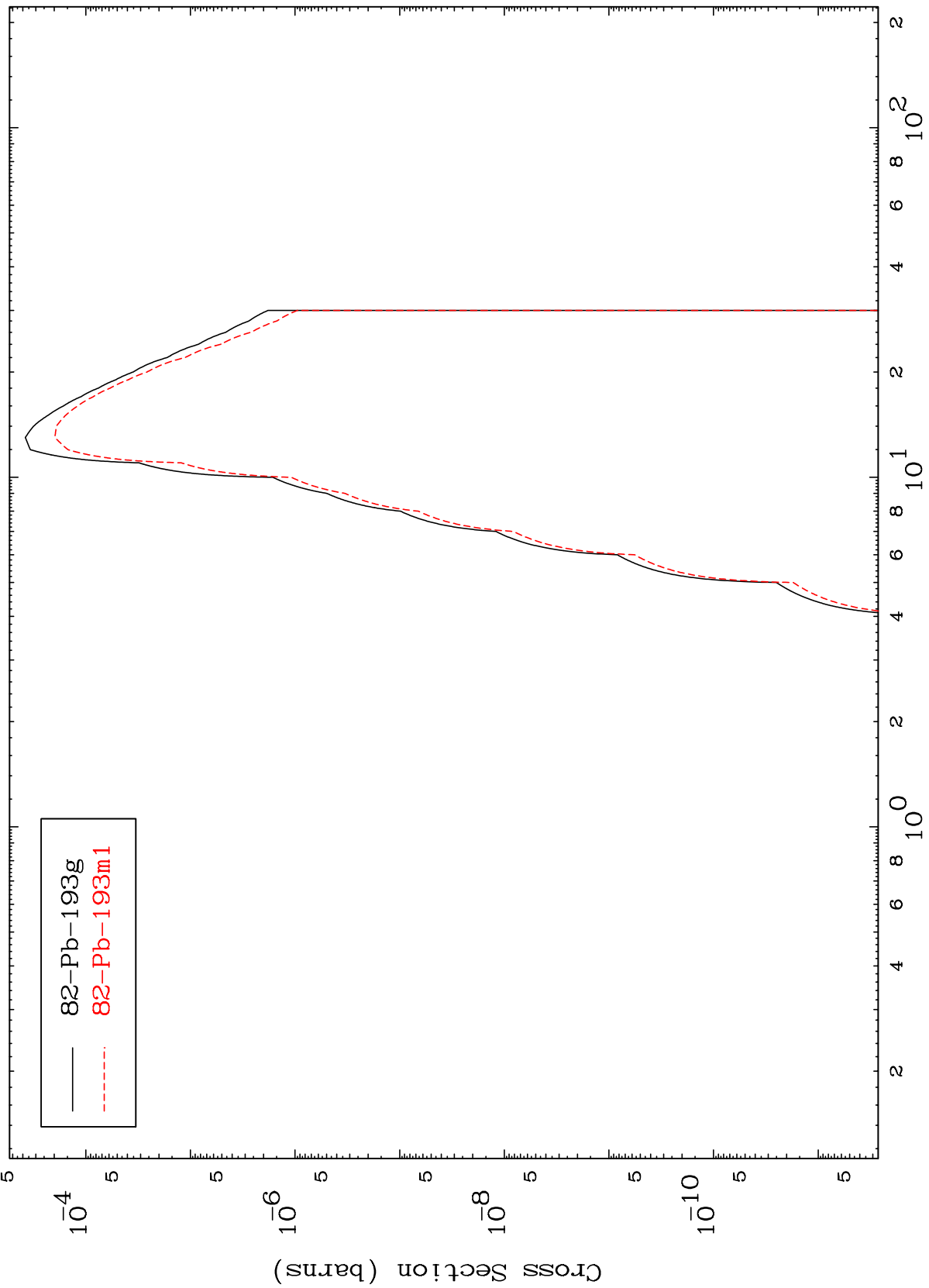
Incident Energy (MeV)

81-Tl-191

MAT 8089

81-Tl-191

(d, γ)
Radionuclide Production Cross Section



81-Tl-191

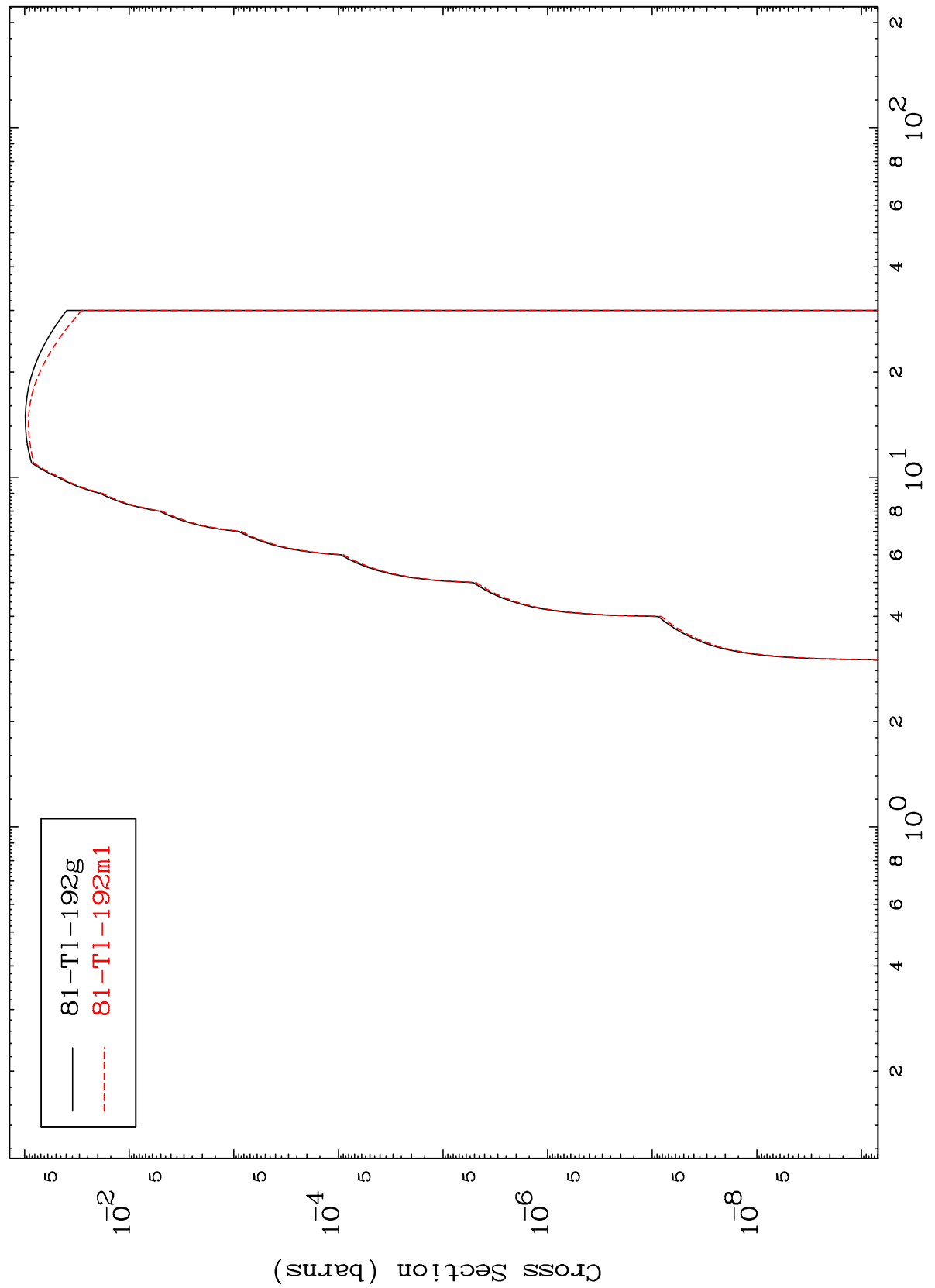
Incident Energy (MeV)

23

MAT 8089

81-Tl-191

(d,p)
Radionuclide Production Cross Section

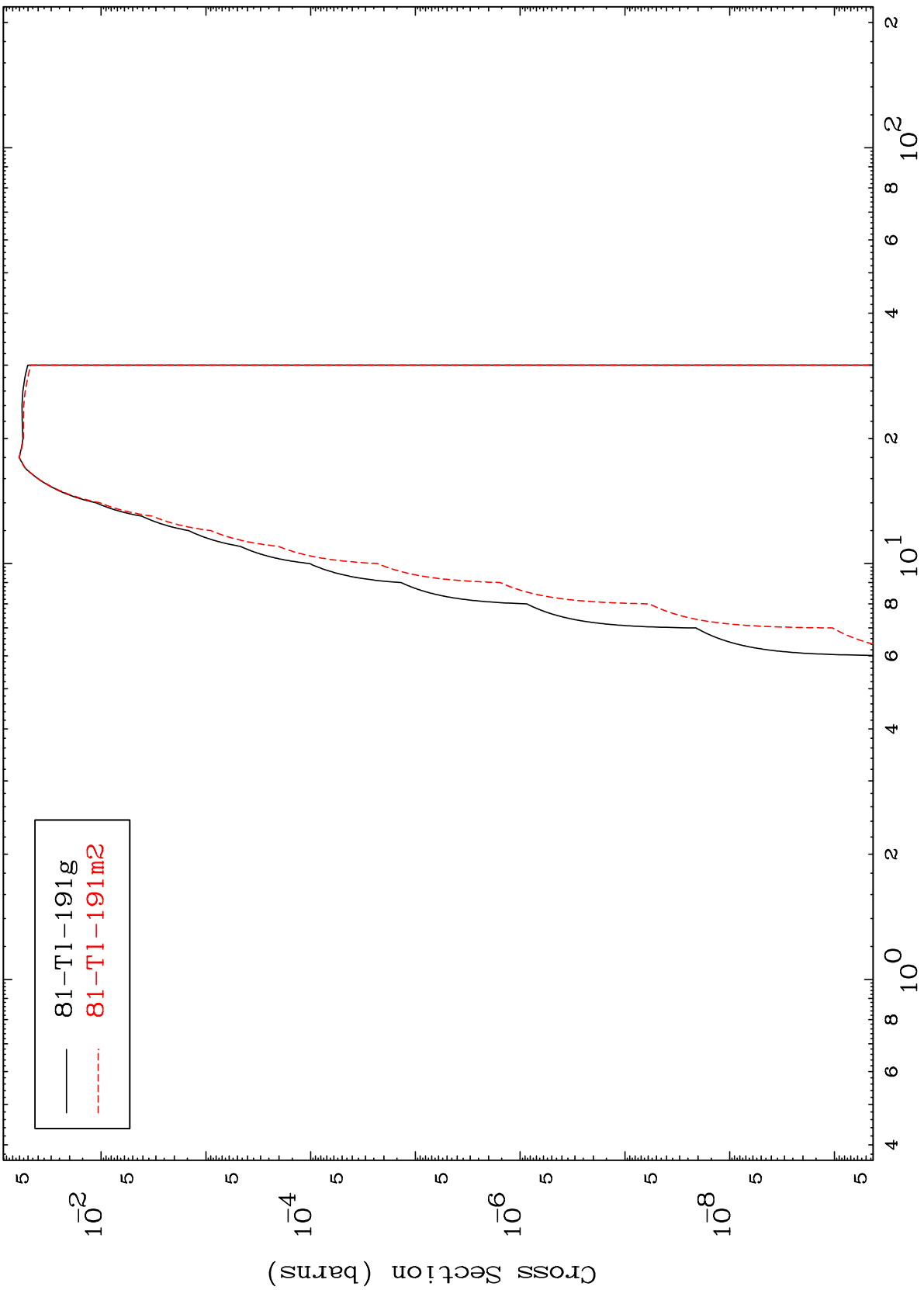


MAT 8089

(d,d)

81-Tl-191

Radionuclide Production Cross Section

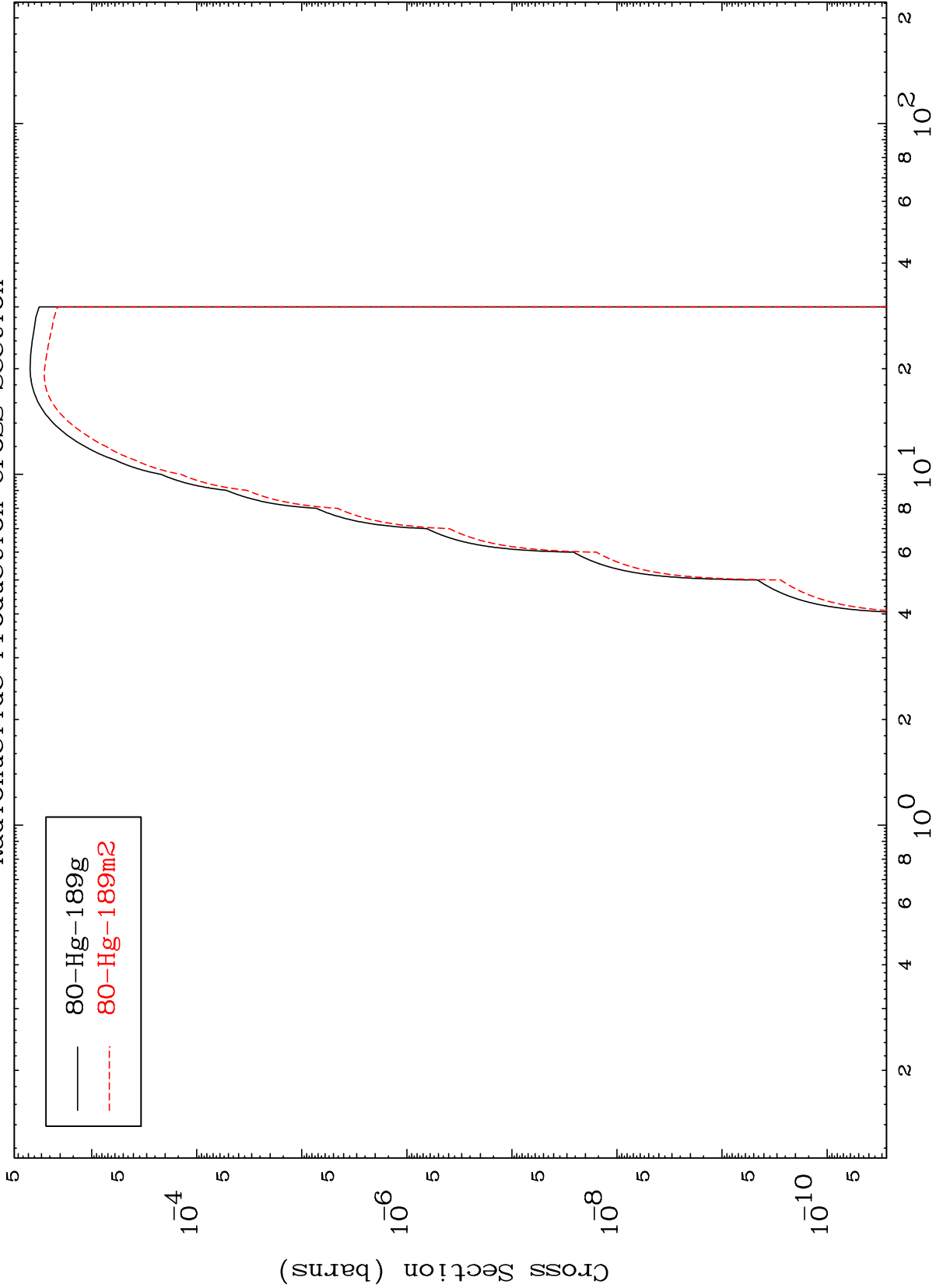


81-Tl-191 g
81-Tl-191 m2

MAT 8089

81-Tl-191

(d, α)
Radionuclide Production Cross Section



26

81-Tl-191

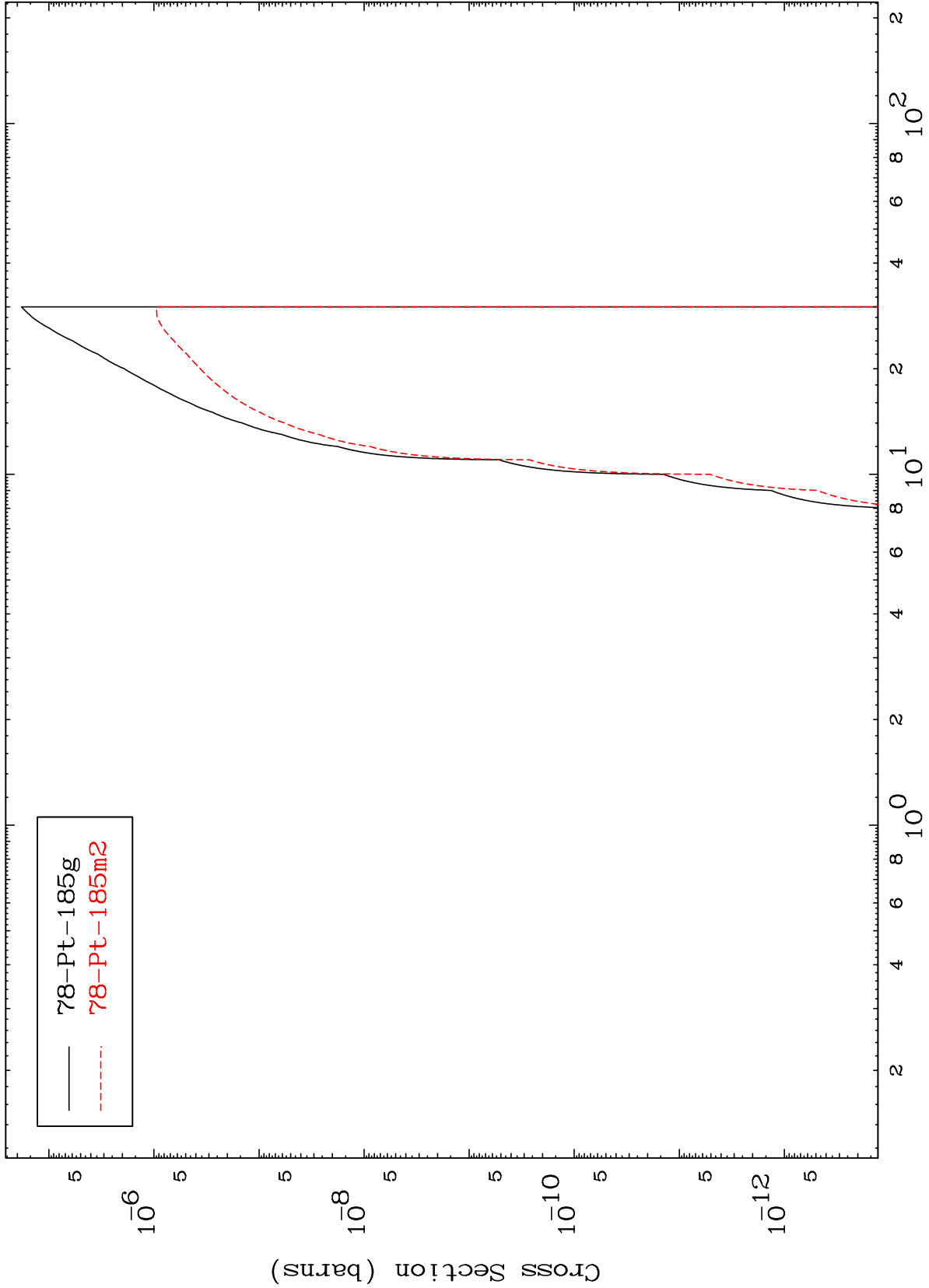
Incident Energy (MeV)

MAT 8089

(d,2 α)

81-Tl-191

Radionuclide Production Cross Section

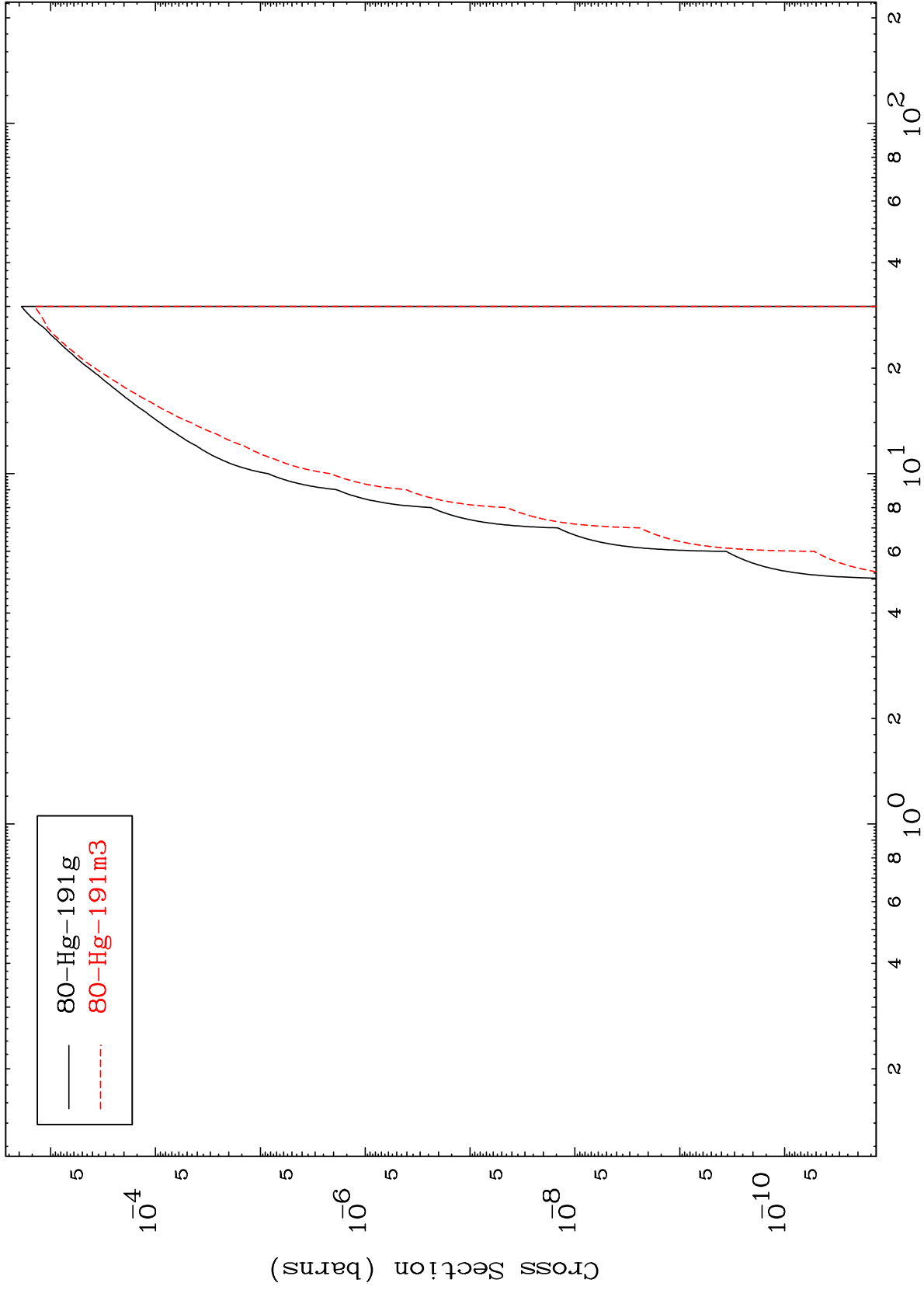


MAT 8089

(d,2p)

81-Tl-191

Radionuclide Production Cross Section



28

Incident Energy (MeV)

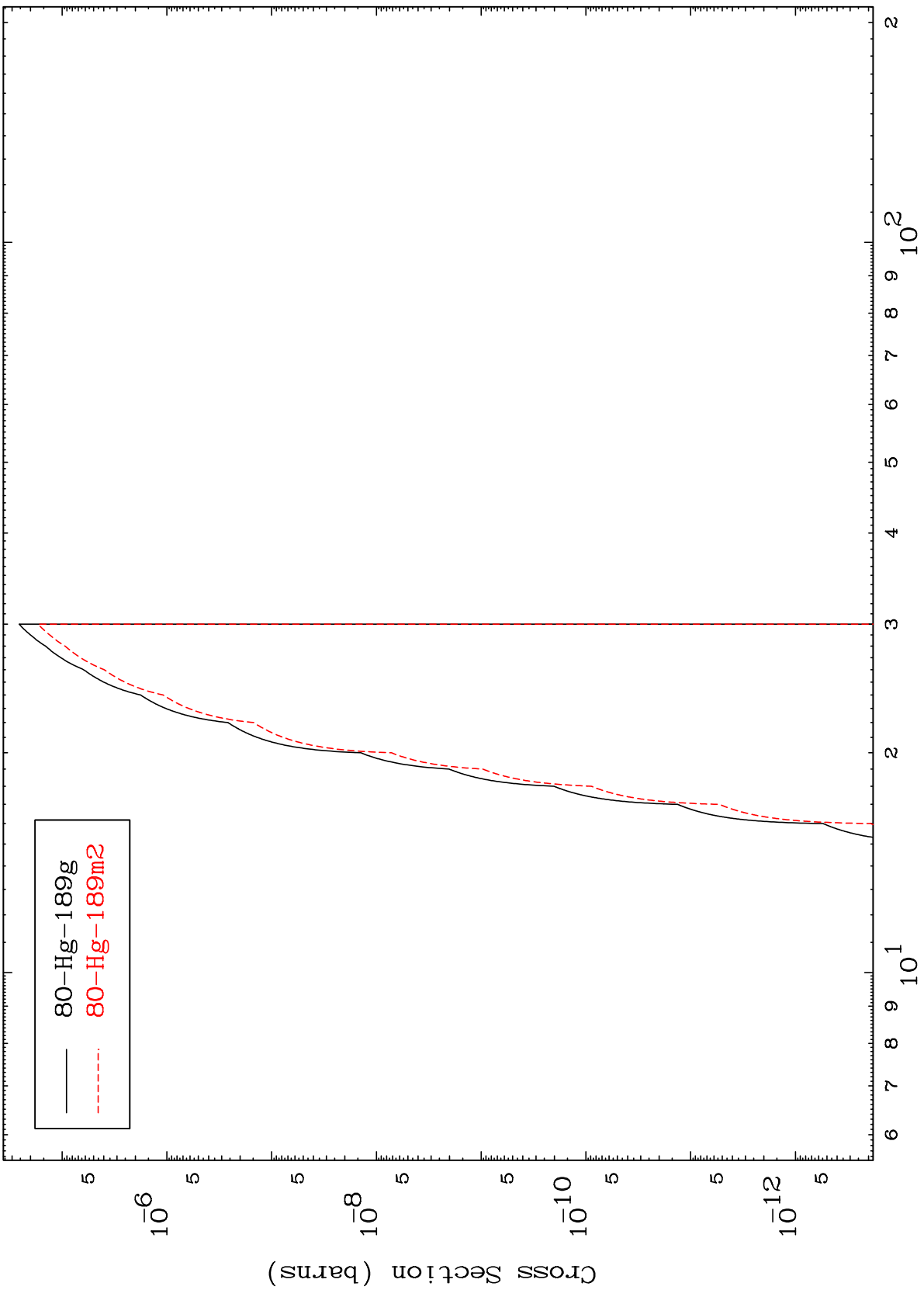
81-Tl-191

MAT 8089

(d,p) t

81-Tl-191

Radionuclide Production Cross Section



80-Hg-189g
80-Hg-189m2

29

Incident Energy (MeV)

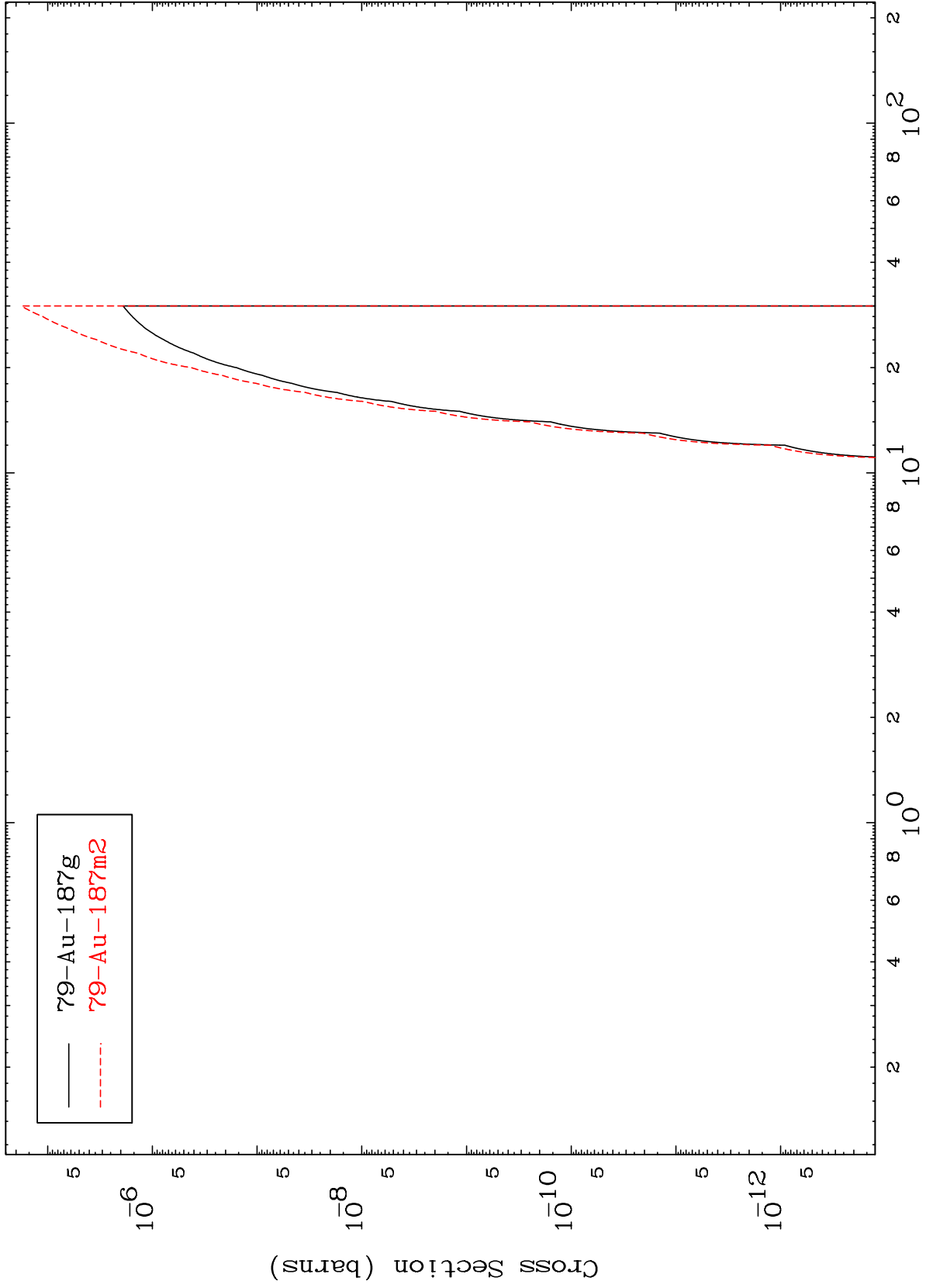
81-Tl-191

MAT 8089

(d,d) α

81-Tl-191

Radionuclide Production Cross Section



30

Incident Energy (MeV)

81-Tl-191